



التحليل المكاني - الزماني للتدفقات السياحية في محافظة العلا التراثية خلال الفترة (2021-2023) باستخدام نظم المعلومات الجغرافية

أ. دلآل دخيل السهلي
الجغرافيا، العلوم الإنسانية والاجتماعية، جامعة الملك سعود، الرياض، المملكة العربية السعودية
البريد الإلكتروني: d.alsehli2@gmail.com

د. لميعة عبد العزيز الجاسر
الجغرافيا، العلوم الإنسانية والاجتماعية، جامعة الملك سعود، الرياض، المملكة العربية السعودية
البريد الإلكتروني: lameah@ksu.edu.sa

الملخص

تستهدف هذه الدراسة تحليل التباين المكاني والزماني للتدفقات السياحية في محافظة العلا، إحدى أبرز الوجهات التراثية في المملكة العربية السعودية، خلال الفترة (2021-2023)، بالاعتماد على أساليب التحليل الجيوإحصائي – المكاني في بيئة نظم المعلومات الجغرافية. وتكتسب هذه الدراسة أهمية خاصة في ظل التوجه الاستراتيجي للمملكة نحو تنويع مصادر الدخل وتعزيز القطاع السياحي ضمن رؤية 2030. حيث تم تطبيق منهج كمي يعتمد على بيانات فعلية حول أعداد السياح ومواقع الجذب السياحي، مع استخدام تقنية كريجينج الاعتيادي (Ordinary Kriging) لتقدير معدلات السياحة في المواقع التي تفتقر إلى بيانات مباشرة. وقد اعتمدت الدراسة على عينة تمثيلية شملت مختلف المواقع السياحية بالمحافظة. وكشفت نتائج الدراسة عن وجود تباين موسمي واضح؛ حيث يمثل الشتاء موسم الذروة السياحية بنسبة 41.9% من إجمالي معدل أعداد الزوار، مقارنة بصيف ضعيف الإقبال لا يتجاوز 11.9%. كما أظهرت النماذج التنبؤية دقة إحصائية عالية، حيث تراوحت متوسط النسبة المئوية لمربع جذر الخطأ RMSE بين 8.73% و 17.35%， وبلغت معاملات الارتباط (r) أعلى من 0.96، مما يعكس موثوقية النماذج في تمثيل الواقع. وتشير هذه المؤشرات إلى إمكانية الاعتماد عليها في التخطيط المستقبلي للقطاع السياحي بالمنطقة. كما أظهرت الدراسة تكتلاً مكانيًا واضحًا لمعالم الجذب السياحي، لا سيما الجيومورفولوجية منها، في حين اتسمت المعالم الثقافية والتربوية بالتوزيع المتبع. وخلصت الدراسة إلى أن فهم التوزيع الزماني - المكاني للسياحة في محافظة العلا يمثل أداة تخطيطية بالغة الأهمية لتوجيه استثمارات البنية التحتية، وتوزيع الأنشطة السياحية، وتعزيز الاستدامة في إدارة الموارد التراثية والطبيعية. وتوصي الدراسة بضرورة تبني استراتيجيات تنموية مبنية على تحليل مكاني دقيق، تسهم في تقليل التباين وتحقيق توزيع أكثر توازنًا للنشاط السياحي.

الكلمات المفتاحية: معالم الجذب السياحي، خصائص التوزيع المكاني، النمط المكاني، التحليل الجيوإحصائي، استدامة السياحة.



Spatio-Temporal Analysis of Tourist Flows in AlUla Governorate (2021–2023) Using Geographic Information Systems (GIS)

Dalal Dakhil Al-Sahli

Geography, Humanities and Social Sciences, King Saud University, Riyadh, Saudi Arabia

Email: d.alsehli2@gmail.com

Dr. Lameah Abdulaziz Al-Jasser

Geography, Humanities and Social Sciences, King Saud University, Riyadh, Saudi Arabia

Email: lameah@ksu.edu.sa

ABSTRACT:

This study includes an analysis of the spatial and temporal variations in tourism flows in AlUla Governorate, one of the most prominent heritage destinations in the Kingdom of Saudi Arabia, during the period (2021-2023), relying on geostatistical-spatial analysis in a geographic information systems (GIS) environment. This study has gained particular importance in the Kingdom's drive to diversify tourism revenue sources within Vision 2030. A quantitative approach was applied, relying on actual data on tourist numbers and tourist attractions, while using the ordinary kriging technique to estimate tourism rates in locations lacking direct data. The study relied on a representative sample that included various tourist sites in the governorate. The study results revealed clear seasonal variation, with winter representing the peak tourism season, accounting for 41.9% of the total visitor numbers, compared to a sluggish summer, which accounts for no more than 11.9%. The predictive models also demonstrated high statistical accuracy, with average root mean square error (RMSE) values ranging from 8.73% to 17.35%, and correlation coefficients (r) above 0.96, reflecting the models' reliability in representing reality. These indicators suggest they can be relied upon in future planning for the region's tourism sector. The study also revealed a clear spatial clustering of tourist attractions, particularly geomorphological ones, while cultural and entertainment attractions were characterized by a dispersed distribution. The study concludes that understanding the spatio-temporal distribution of tourism in AlUla Governorate represents a critical planning tool for guiding infrastructure investments, distributing tourism activities, and promoting sustainability in the management of heritage and natural resources. The study recommends adopting development strategies based on accurate spatial analysis, which contribute to reducing disparity and achieving a more balanced distribution of tourism activity.

Keywords: Tourist Attractions, Spatial Distribution Characteristics, Spatial Pattern, Geo-statistical Analysis, Tourism Sustainability.



المقدمة:

تشهد المملكة العربية السعودية تحولات جذرية في توجهها نحو تطوير قطاع السياحة، بوصفه أحد المحرّكات الأساسية لتنويع الاقتصاد الوطني ضمن إطار رؤية المملكة 2030. ويُعزز هذا التوجه ما حققه المملكة من تقدم كبير على مستوى السياحة الدولية، حيث احتلت المركز الثالث عشر عالمياً في عام 2022 من حيث عدد الزوار الدوليين، متقدمة 12 مركزاً مقارنة بعام 2019، ما يعكس تصاعد الدور الذي باتت تؤديه السياحة في البنية الاقتصادية والاجتماعية للمملكة (UNWTO، الزهراني، 2023). هذا التقدّم لم يكن عشوائياً، بل نتج عن مشاريع كبرى واستثمارات ضخمة استهدفت البنية التحتية السياحية وتطوير الوجهات الطبيعية والتراثية، ومن أبرزها محافظة العلا، التي تمثل إحدى الركائز الأساسية في استراتيجية السياحة الثقافية المستدامة في المملكة.

وتحظى العلا من أبرز الوجهات التراثية في المملكة العربية السعودية، نظراً لما تحتويه من موقع أثري وتاريخي استثنائي مثل مدائن صالح، ودادان، والبلدة القديمة، إلى جانب التكوينات الجيولوجية الطبيعية الفريدة. ورغم ذلك، تُظهر الإحصاءات أن العلا لا تزال تستقبل نسبة ضئيلة من إجمالي الزوار للمملكة، إذ استقبلت نحو 278 ألف سائح فقط في عام 2023، أي ما يعادل 0.2% من إجمالي عدد السياح المحليين والدوليين البالغ 109.3 مليون سائح (وزارة السياحة، 2022). وتؤكد دراسات سابقة مثل الزهراني (2009) والسراني والزبن (2022) على أن العلا تمتلك إمكانات كبيرة غير مستغلة بشكل كافٍ، مما يستدعي تطوير أدوات تحليلية وخطيطية لتقيير حجم التدفقات السياحية بدقة، وتوزيعها مكانياً وزمانياً بما يحقق التنمية المتوازنة.

وفي ضوء هذه التحديات، تأتي أهمية هذه الدراسة من كونها تبني منهجية تحليلية كمية تعتمد على أسلوب كرينجن الأعتيادي (Ordinary Kriging) داخل بيئية نظم المعلومات الجغرافية، للكشف عن التباينات الموسمية والمكانية في حركة السياحة بالعلا. ويُعد هذا النهج متقدماً مقارنة بالدراسات السابقة، سواء العربية أو الدولية، والتي لم توظف أساليب الاستيفاء الجيوإحصائي للتحليل السياحي بالشكل الذي يسمح بالتبؤ العلمي المدعوم بالتحقق الإحصائي 2016 (Peng et al., 2000)؛ Bishop & Gimblett, 2000؛ Stupariu et al. (2023) و(2020) وزويد (2022) وورغي (2020) و(2022) و(2023). أن استخدام أدوات التحليل المكاني مهم، لكنه لا يزال بحاجة إلى التطوير الكمي والتنبؤي لتحقيق فهم أعمق للتدفقات السياحية. وأن التحليل الجيوإحصائي يُعد أداة قوية في فهم النمط المكاني للسياحة، والتوزيع المكاني للأنشطة السياحية، مما يمكن من تخصيص الموارد بكفاءة، وتطوير البنية التحتية الازمة، وتصميم استراتيجيات تسويقية موجهة لاستقطاب السياح، ويمكن كذلك المخططين وصناع القرار من تطوير استراتيجيات دقيقة ومستدامة لتوزيع الأنشطة والخدمات السياحية مما يتبع تحسين إدارة الوجهات السياحية. ومن هنا، تقدم هذه الدراسة مساهمة علمية رائدة في مجال تحليل الحركة السياحية المستدامة، من خلال توفير أدوات كمية تدعم صناع القرار في تخطيط السياسات السياحية، وتحسين استغلال موارد العلا بطريقة تراعي الخصائص البيئية والتراثية.

على الرغم من النمو الملحوظ في النشاط السياحي بمحافظة العلا في السنوات الأخيرة، واعتبارها أحد أهم المقاصد التراثية في المملكة العربية السعودية، إلا أن هذا التطور لا يزال يعاني من عدم تجانس واضح في التوزيع المكاني - الزماني لتدفقات السياح. حيث كشفت التقارير والدراسات السابقة (مثل الزهراني، 2009؛ السراني والزبن، 2022) عن وجود موسمية في الطلب السياحي تتركز في فصل الشتاء، إلى جانب تكتل مكاني شديد لمعالم الجنب ضمن نطاق محدود من مراكز العلا، مما يؤدي إلى تكس في بعض المواقع وغياب التنمية السياحية المتوازنة في بقية أرجاء المحافظة. كما أن معظم الدراسات العربية والعالمية تناولت السياحة من منظور وصفي أو تخططي تقليدي دون توظيف أدوات التحليل المكاني والجيوإحصائي، التي تُعد ضرورية لهم أعمق للأنماط الجغرافية للسياحة. من هنا تبرز مشكلة الدراسة في غياب تحليل منهجي كي قائم على نظم المعلومات الجغرافية للكشف عن التباينات الموسمية والمكانية في تدفقات السياحة، وتحديد مناطق الكثافة والتبعاد، تأخذ في الاعتبار السياق المحلي بما يضمن توجيه التخطيط السياحي بشكل مستدام ومتوازن في محافظة العلا.

**أهداف الدراسة:**

تهدف الدراسة إلى تحليل التدفقات السياحية في محافظة العلا خلال الفترة (2021-2023) من خلال بعدين رئيسيين: البعد الزمني المرتبط بالموسمية، والبعد المكاني المرتبط بتوزيع المعالم وتذوق السائح، وذلك باستخدام أدوات وتقنيات نظم المعلومات الجغرافية، وتمثل الأهداف الفرعية فيما يلي:

- 1- تحليل التباين الموسمى والمكاني في معدل أعداد السياح بمحافظة العلا بهدف فهم ديناميكيات الطلب السياحي ومواسم الذروة والانخفاض.

- 2- تقدير التوزيع المكاني لمعدلات أعداد السياح في موقع الجذب السياحي باستخدام تقنية كريجینج الاعتيادي، مع تقييم دقتها التنبؤية من خلال مؤشرات الأداء الإحصائي والمتمثلة في: متوسط النسبة المئوية لمربع جذر الخطأ RMSE %، ومعامل الارتباط (r)، ومعامل التحديد (R^2)، ومخطط الانتشار Scatterplots بما يعزز موثوقية التحليل المكاني.

- 3- كشف نمط التوزيع الجغرافي لأنواع معالم الجذب السياحي (تاريجية، جيومورفولوجية، ثقافية وترفيهية)، وتحليل طبيعة تمركزها أو تبعادها باستخدام أدوات التحليل الجيوإحصائي والمكاني لتقديم رؤى مكانية تدعم توجيه خطط التنمية السياحية نحو التوازن والاستدامة.

أهمية الدراسة:

تكمّن أهمية هذه الدراسة في منهجيتها الشاملة من الناحية العلمية في تحليل الديناميات الزمانية والمكانية للسياحة في محافظة العلا الغنية بالتراث الثقافي والطبيعي. ومن خلال الاستفادة من دراسات الأدباء السابقة لدراسات حالة على المستوى العربي والعالمي توظّف الدراسة تقنيات متقدمة في التحليل الجيوإحصائي، وبشكل خاص طريقة كريجینج الاعتيادي لتقدير أعداد الزائرين في الواقع التي تفتقر إلى بيانات مباشرة وتقييم دقتها وأدوات التحليل المكاني، لسد فجوة بحثية بارزة في جغرافيا السياحة بمنطقة الشرق الأوسط. بالإضافة إلى ذلك تتميز الدراسة بدمجها المبتكر بين بيانات فعلية عن حركة الزوار ونماذج مكانية تنبؤية للكشف عن التباينات الموسمية والمكانية في تدفق السياح مما يسمح بالمزيد من تخصيص الموارد الفعالة وإدارة الوجهة. ولا تقتصر الدراسة على تحديد أنماط التجمّع السياحي في الواقع الطبيعي والثقافية، بل تقدّم أيضًا رؤى عملية لمعالجة اختلالات التوزيع المكاني في تنمية السياحة، مما يعزز من إسهامها الأكاديمي و يجعلها متوافقة مع المعايير البحثية الدولية. علّوة على ذلك، تقدّم الدراسة أدوات عملية للتخطيط لتنمية سياحية مستدامة وتوجيه الاستثمارات في البنية التحتية، بما يتماشى مع رؤية السعودية 2030.

الدراسات السابقة:

تشير مراجعة الأدباء إلى وجود فجوة بحثية واضحة بين الدراسات العربية والعالمية فيما يتعلق بتحليل التوزيع المكاني والزمني للسياحة باستخدام نظم المعلومات الجغرافية والأساليب الجيوإحصائية. حيث ركزت الدراسات العربية على التحليل المكاني للموقع السياحي وأنماط سياحية محددة دون التعمق في توظيف أدوات التحليل الجغرافي الكمي في دراسة التدفقات السياحية، بينما اتجهت الدراسات الدولية إلى استخدام تقنيات متقدمة لمحاكاة سلوك الزوار وتحليل شبكات التدفق السياحي وأنماط الديناميكية. وتوضح هذه الفجوة من خلال الاستعراض التالي:

على المستوى الأدبيات العربية: قدم الزهراني (2009) دراسة بعنوان التخطيط السياحي للمناطق التراثية: العلا أنموذجاً، حيث ركز على استثمار الموارد الثقافية والطبيعية في محافظة العلا كأساس للتخطيط السياحي، واستند في بياناته إلى مسوحات ميدانية خلال أربعة مواسم هجرية، بهدف تطوير مشاريع تنمية سياحية مستدامة. إلا أن الدراسة بقيت في إطار التخطيط التقليدي دون توظيف أدوات التحليل المكاني الحديثة. وفي ذات السياق، هدفت دراسة السراني وآل زينة (2022) إلى بناء نموذج خرائطي لتحديد الموقع السياحي في محافظة العلا باستخدام نظم المعلومات الجغرافية، وتوصلت إلى أن التوزيع السياحي يتسم بالتكلّل المكاني في بعض المواقع. ورغم



تميزها بمنهجها الكارتوغرافي التطبيقي، إلا أنها لم تستخدم أدوات جيوإحصائية متقدمة للتتبؤ أو تحليل التباين المكانى – الزمانى للتدفقات السياحية. كما تناولت دراسة الأحمرى وورغى (2020) التوزيع المكانى للموقع الأثرية في منطقة الباحة، وبيّنت علاقتها بالعوامل الطبيعية والبشرية، وأوصت بإعداد أطلس أثري يوظف نتائج التحليل المكانى في التخطيط السياحى. أما زويد (2022) فقد أجرت تحليلًا مكانيًّا للموقع السياحية في قضاء المنادرة باستخدام نظم المعلومات الجغرافية، مؤكدة على الترکز السياحى حول مراكز الخدمات وضعف الانتشار في الأطراف. وفي السياق الحضري، قامت الفحاطانى (2023) بتحليل الوجهات السياحية في مدينة الرياض عبر نظم المعلومات الجغرافية، وكشفت عن اختلال التوزيع المكانى للخدمات السياحية داخل المدينة.

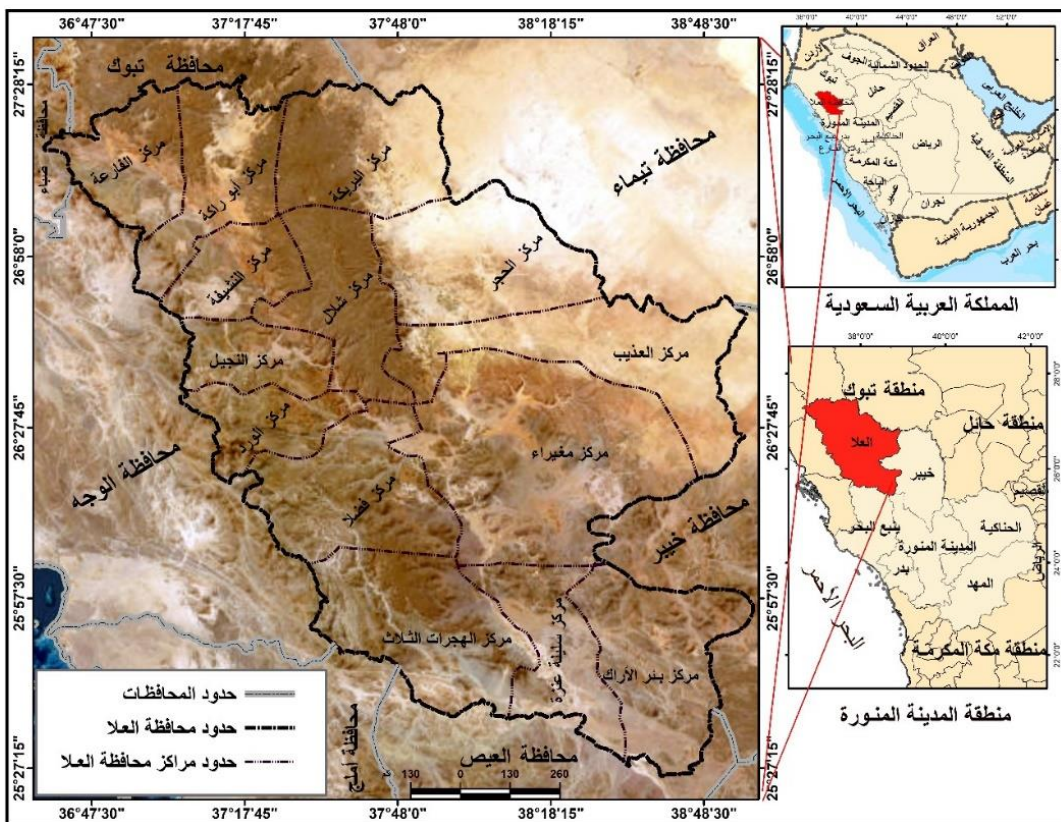
أما على الصعيد الدولى، قدمت دراسة بيشوب وجيمبليت (Bishop & Gimblett, 2000) مقاربة تحليلية لسلوك الزوار باستخدام النمذجة المكانية والواقع الافتراضي، بهدف تتبع حركة الزائرين في البيئة السياحية. أما بینغ وآخرون. (2016) فركزت على تحليل التدفقات السياحية عبر حدود المقاطعات الصينية، باستخدام تحليل الشبكات الاجتماعية وتأثير العوائق الحدودية. وأكدت الدراسة أن هذه التدفقات تتأثر بمستوى الموارد، والتكامل الإقليمي، وإمكانية الوصول. ، بينما ربط وانغ و آخرون. (2022) التوزيع المكانى للقرى التراثية في هوبى بعوامل تاريخية وطبوغرافية. وفي السياق ذاته، قدمت Weng et al. (2023) نموذجًا تحليلياً لديناميكيات السياحة في منطقة تشونغتشينغ بالاعتماد على تحليل مراكز الجنوب والانحدار المكانى. وطبق (2023) Stupariu et al. تحليلًا جيوإحصائياً شاملًا لتتبع التدفقات السياحية الأجنبية في رومانيا، من خلال ربط الزمان والمكان بنقط الجذب السياحى ومرافق الإقامة، مما مكن من فهم عميق لسلوك الزوار وتوزيعهم المكانى والزمانى، وأسهم فى تطوير سياسات أكثر فاعلية لإدارة الطلب السياحى، كما استخدم يو شو وآخرون. (2024) Xu et al. نموذج الكاشف الجغرافي في تحليل نمط توزيع الموقع السياحية في تشينغداو

وعلى الرغم من تنوع هذه الدراسات وثرائها، إلا أن معظمها – سواء في السياق العربي أو العالمي – لم يستخدم أساليب الاستيفاء الجيوإحصائي كأسلوب كرينج الاعتيادي (Ordinary Kriging) لتقدير أعداد الزائرين في الموقع التي تقترن إلى بيانات مباشرة، ولا للتحقق من دقة هذه التقديرات باستخدام مؤشرات إحصائية كمعامل الارتباط(r) والنسبة المئوية لمتوسط جذر الخطأ التربيعي ($\%RMSE$)، والتحديد ومخطط الانتشار إذ اقتصر استخدام في الدراسات العربية على بناء خرائط وصفية أو تطبيقات كارتوغرافية عامة للموقع السياحية، في حين اتجهت الدراسات الدولية إلى تحليل شبكات الحركة أو النمذجة السلوكية دون الدخول في تقدير عددي كمى لحركة السياحة في الموقع غير المراقبة ميدانياً. ومن هنا، تتميز الدراسة الحالية بكونها أول دراسة تطبق أسلوب كرينج الاعتيادي في بيئه نظم المعلومات الجغرافية على مستوى المملكة وضمن القلائل في السياق الأكاديمي العام - مع التحقق من دقته إحصائياً للكشف عن الاتجاهات الموسمية والخصائص المكانية لحركة السياح، وهذا يمثل نقلة نوعية في أدوات التخطيط السياحى المبني على البيانات، خاصة في وجهات التراث الصحراوي مثل محافظة العلا.

**حدود الدراسة:**

تمتد محافظة العلا احداثياً بين دائريتي عرض 30°30'25" إلى 15°28'27" وخطي طول 30°47' إلى 30°38'48" وتقع جغرافياً في منطقة المدينة المنورة شمال غرب المملكة العربية السعودية، ويحدها من ناحية الشمال والشمال الشرقي محافظتي تبوك وتيماء، ومن ناحية الشمال الغربي محافظة ضباء، ويحدها من ناحية الجنوب محافظتي العิص وأملج ومن الجنوب الشرقي محافظة خير، ومن ناحية الغرب محافظة الوجه، وتقع على بعد حوالي 320 كم عن المدينة المنورة عبر الطريق الجديد المباشر و400 كم عبر الطريق القديم، شكل (1)، وقد أسمهم هذا الموقع الجغرافي المتميز دوراً رئيساً في كون المحافظة موطنًا للحضارات على مر العصور التاريخية (الفقير، 2008).

شكل (1) الموقع الجغرافي لمحافظة العلا - المصدر: (الهيئة العامة للمساحة والمعلومات الجيومكانية، 2023)

**منهج الدراسة:**

اعتمدت الدراسة على مجموعة من المناهج العلمية التي تتكامل فيما بينها لتحقيق أهداف البحث. فقد تمثل ذلك في المنهج التاريخي من خلال تتبع التغير الزمني والمكاني في حركة الندفقات السياحية بمحافظة العلا، ورصد تطورها بين الفصول والمواعيد المختلفة خلال الفترة (2021-2023). كما تم توسيف المنهج الوصفي للكشف عن خصائص التوزيع السياحي الموسمي والمكاني، وتحليل مناطق التركيز السياحي ونمط انتشار الزوار وفقاً لنوع الموقع السياحي. وتم دعم ذلك باستخدام المنهج الكمي عبر توظيف تقنيات نظم المعلومات الجغرافية، والتحليل الجيوإحصائي – خاصة أسلوب كرينج الاعتيادي – (Ordinary Kriging) لتقدير أعداد الزائرين في الموقع غير المرصودة ميدانياً، والتحقق من دقة النتائج باستخدام مؤشرات إحصائية. وقد هدفت هذه المناهج



مجتمعية إلى بناء صورة نمطية علمية لتوزيع السياحة في العلا، وتقديم توصيف تحليلي دقيق بما يسهم في دعم التخطيط السياحي المستدام.
أساليب التحليل والمعالجة:

استندت هذه الدراسة إلى نظم المعلومات الجغرافية (GIS)، واستخدمت أسلوب كريجنج الاعتيادي (Ordinary Kriging)، لتقدير أعداد الزائرين في الواقع التي تتفق إلى بيانات مباشرة، وذلك للكشف عن الاتجاهات الموسمية والخصائص المكانية لحركة السياحة، خلال الفترة الزمنية الممتدة من عام 2021 إلى عام 2023 اعتناداً على المراجع الرسمية الصادرة عن الهيئة العامة للسياحة والتراث الوطني، وتقارير الهيئة العليا للسياحة، بالإضافة إلى الدراسات الأكademية ذات الصلة، كما تم توظيف مؤشر مقياس الجار الأقرب أو معامل صلة الجوار (average nearest neighbor index)، وتحليل تقدير كثافة النواة أو اللب (kernel density estimation)، معلمات التوزيع الاتجاهي (القطع الناقص المعياري) (standard deviational ellipse) من أجل تمثيل الخصائص المكانية لتوزيع الموقع السياحي من حيث نوع التوزيع المكاني، وكثافة التوزيع، والنط المكاني.

- أسلوب كريجنج (Kriging):

تم الاستناد إلى البيانات المرصودة حول أعداد الزوار بهدف إنشاء خريطة مكانية مستمرة لمتوسط التدفقات السياحية على مستوى محافظة العلا، سواء مكانيًا أو موسميًا، بدقة تحليلية تبلغ 30×30 متراً للبكسل الواحد. وقد تم تنفيذ هذا باستخدام طريقة الاستيفاء الجيوإحصائي المعروفة بـ كريجنج ضمن بيئة برنامج ArcGIS Pro 3.2. حيث تُعد كريجنج واحدة من أبرز تقنيات الاستيفاء الجغرافي الإحصائي (Geostatistical Interpolation)، لما تتمتع به من قدرة على التنبؤ بالقيم غير المرصودة في موقع لم يتم أخذ عينات منها فعلياً، من خلال تحويل الترابط الذاتي المكاني بين النقاط ذات البيانات الفعلية. فعند تطبيق Kriging على بيانات التدفقات السياحية، يمكن تحقيق خرائط توقع دقيقة للغاية بفضل اعتمادها على المسافات والعلاقات المكانية بين نقاط الرصد. تبدأ العملية بجمع بيانات فعلية في موقع مختار، تليها مرحلة إنشاء نموذج نصف الفرق التجريبي (Semivariogram)، والذي يستخدم لقياس درجة التشابه بين النقاط ذات المسافة الفاصلة بينها. يسمح هذا النموذج بتحديد العلاقة المكانية التي تُستخدم لاحقاً في حساب أوزان Kriging عند التقدير. بعد ضبط النموذج وفق البيانات المتوفرة، تقوم خوارزمية Kriging بتطبيق هذه البنية على باقي الموقع غير المرصودة، مما يؤدي إلى إنتاج خريطة سلسة توضح أنماط الحركة السياحية داخل المنطقة. وأخيراً، يتم توليد خريطة توقع كمية ظهر التدفقات المقدرة على مستوى منطقة الدراسة، مرافقاً بقياسات عدم اليقين الإحصائي المرتبط بهذه التقديرات (Webster & Oliver, 2007).

وبناءً عليه، تُعد طريقة Kriging الخيار الأنسب لتحليل مجموعات بيانات معقدة مثل بيانات تدفقات الزوار، إذ تسمح بدمج الفروق الدقيقة في البنية المكانية، وقد أثبتت فعاليتها في مجالات متعددة، من بينها السياحة. ففي دراسة أجريت باستخدام بيانات إشارات الهواتف المحمولة من العاصمة الصينية بكين، تم استخدام Kriging لاستيفاء كثافة تدفقات الزوار بدقة عالية، مما مكن من تتبع تحركاتهم بدقة مكانية وزمانية (Fang et al., 2023). هذه الأساليب تُعد قيمة في إدارة الحركة السياحية، وقد تم بالفعل اقتراح أنظمة رقمية مبتكرة تعتمد على معالجة البيانات اللحظية لرصد ومراقبة تدفقات الزوار وتقادي الازدحام في المدن (Kalaitzakis et al., 2022). إلى جانب ذلك، استُخدم تحليل الكثافة النوية (Kernel Density Estimation) (KDE) القائم على نظم المعلومات الجغرافية في رسم خرائط تدفقات السياحة، مما مكن من الكشف عن الاتجاهات الجغرافية المهمة في عدد الزوار الدوليين، ما يسهم في دعم قرارات التخطيط الاستراتيجي (Nistor et al., 2020).

وفقاً لـ (Cressie 1990) و (Matheron 1963)، يتم حساب القيمة المتوقعة في موقع غير مرصود باستخدام المعادلة التالية:

$$Z(x_0) = \sum_{i=1}^n \lambda_i Z(x_i)$$

حيث:

$Z(x_0)$: القيمة المتوقعة في الموقع غير المعروف.

$Z(x_i)$: القيمة المعروفة في موقع العينة.

λ_i : أوزان Kriging.

n : عدد نقاط البيانات المعروفة.



وتتعدد أنواع الاستيفاء باستخدام طريقة Kriging نظراً لمرونتها وتعدد تطبيقاتها في التنبؤ المكانى، حيث تُعد واحدة من أكثر أدوات الاشتغال الإحصائي المكانى شمولاً واستخداماً في العديد من التخصصات، مثل الجغرافيا، والهيدرولوجيا، والبيئة، والتخطيط العمرانى. وتختلف أنواع Kriging تبعاً لطبيعة البيانات، وهيكلاها المكانى، والافتراضات الإحصائية المصاحبة لها، مما يسمح باختيار النموذج الأنسب لكل حالة دراسية. ومن بين أبرز هذه الأنواع: كريجينج الاعتيادي (OK - Ordinary Kriging): يفترض وجود متوسط ثابت ولكنه غير معروف في منطقة الدراسة، ويُستخدم في الحالات التي لا يوجد فيها اتجاه مكاني واضح في البيانات، ويُعد الأكثر شيوعاً في التطبيقات العملية (Cressie, 1990). والبسيط (Simple Kriging - SK): يفترض معرفة مسافة بال المتوسط، وهو مناسب فقط في الحالات التي يكون فيها المتوسط معروفاً بدقة، ما يجعله أقل استخداماً (Isaaks & Srivastava, 1989). والشامل (Universal Kriging - UK): يُستخدم عندما تكون هناك اتجاهات مكانية واضحة في البيانات، ويجمع بين نمذجة الاتجاه العام (Trend) وبقايا البيانات (Residuals) في نموذج واحد (Matheron, 1963). والمؤشر (Indicator Kriging - IK): يُستخدم لتحليل البيانات الفئوية أو الثانية، حيث يتم تحويل القيم إلى مؤشرات (0 أو 1) لتقيير احتمالات وقوع حدث معين ضمن موقع معين (Journel, 1983). والمشترك (Co-Kriging - CoK): يُستخدم في الحالات التي تتتوفر فيها بيانات عن متغيرات مترابطة، حيث يسمح باستخدام هذه المتغيرات الإضافية لتحسين دقة التقدير (Myers, 1982). وأخيراً نموذج كريجينج الاعتيادي (OK) وتم الاعتماد عليه في الدراسة نظراً لأنه يُعد الأكثر ملاءمة في معظم التطبيقات العملية، وذلك لعدة أسباب: لا يتطلب معرفة مسافة بمتوسط البيانات، يفترض وجود متوسط ثابت وغير معروف في جميع أنحاء منطقة الدراسة، ينتج عنه تقييرات غير متحيزه بأقل تباين ممكن، كما يُوفر مقاييساً واضحاً لعدم اليقين، يُساعد في تقييم مدى موثوقية القيم المستندة (Cressie, 1990). وبناءً على هذه المزايا، تم اختيار نموذج كريجينج الاعتيادي ليُستخدم في هذه الدراسة. وصيغته الإحصائية كالتالي:

$$Z^*(x_0) = \sum_{i=1}^n \lambda_i Z(x_i)$$

حيث:

$Z^*(x_0)$ هي القيمة المتوقعة في الموقع x_0 ،
تمثل $Z(x_i)$ القيم الفعلية في الواقع التي تمأخذ عينات منها x_i ،
 λ_i هي أوزان Kriging التي يتم حسابها بناءً على بنية نصف الفرق التجريبية (semivariogram)،
 n هو عدد نقاط البيانات المستخدمة في الاستيفاء.

يتم حساب أوزان كريجينج (λ_i) عن طريق حل نظام من المعادلات يقلل من تباين خطأ التقدير ويضمن تنبؤات غير متحيزة.

وتم تحليل الأداء الإحصائي لتقييم دقة الاستيفاء لنموذج كريجينج الاعتيادي، باستخدام أساليب التحقق المتقاطع (Cross Validation)، إلى جانب تحليل التوقع الخطى (Linear Regression Equation)، وذلك من خلال ما يلى:

- حساب متوسط جذر الخطأ التربيعي (Root Mean Square Error - RMSE) (Root Mean Square Error - RMSE) في تقييم دقة النماذج، حيث يُحسب من خلال الفرق بين القيم الفعلية والمتوقعة. إلا أن RMSE يُعد حساساً للقيم المتطرفة لأنها يربّع الفروق، مما يؤدي إلى تضخيم تأثير الأخطاء الكبيرة. وللتغلب على هذه الإشكالية، يتم استخدام النسبة المئوية لمتوسط جذر الخطأ التربيعي (RMSE%)، والتي تُحسب عن طريق قسمة RMSE على متوسط القيم المرصودة، مما يسهل تفسيره، خصوصاً عند وجود بيانات ذات تباين كبير (Chai & Draxler, 2014). ويعُد النموذج أكثر دقة عندما تكون قيمة RMSE%، وبشكل عام: تشير القيم الأقل من 40% كُلّ دقة مقبولة. والقيم التي تتجاوز 70% تشير إلى ضعف واضح في النموذج وتقدّرهاته (Hengl et al., 2004).

ويتم حساب RMSE وفق الصيغة الإحصائية التالية:

$$RMSE = \sqrt{\left(\frac{1}{n} \sum_{i=1}^n (E_i - A_i)^2 \right)}$$

حيث:

E_i = القيم المقدرة أو المتوقعة

A_i = القيم الفعلية أو المرصودة

n = عدد نقاط البيانات



ويتم حساب النسبة المئوية لمتوسط جذر الخطأ التربيعي RMSE % عن طريق قسمة على متوسط القيم المرصودة وضرب النتيجة في 100. وهذا يوفر قياساً للخطأ على أساس النسبة المئوية، مما يسهل تفسيره عبر مجموعات البيانات أو المقاييس المختلفة. وصيغة هي:

$$\%RMSE = (\text{RMSE} / \mu) * 100$$

حيث: μ = متوسط القيم المرصودة (A_i)

- حساب معامل الارتباط والانحدار الخطى:

في سياق التحليل الإحصائى، يُستخدم معامل الارتباط (Correlation) لقياس قوة واتجاه العلاقة بين متغيرين، ويُعد معامل ارتباط بيرسون (Pearson Correlation Coefficient) من أشهر المؤشرات الكمية في هذا المجال. تتراوح قيمة هذا المعامل بين -1 و +1، حيث تشير القيمة +1 إلى وجود علاقة طردية تامة، في حين تدل -1 على علاقة عكسية تامة، أما القيمة صفر فتعكس غياب أي علاقة خطية بين المتغيرين (Montgomery et al., 2012)، وعلى عكس معامل الارتباط الذي يكتفى بقياس قوة العلاقة، فإن التحليل الخطى (Linear Regression) يذهب إلى أبعد من ذلك، حيث يستخدم لبناء نموذج تنبؤي يعبر عن العلاقة بين المتغير التابع (Independent Variable) ومتغير مستقل (Dependent Variable) ويتيح هذا النموذج إمكانية توقع قيم المتغير التابع بناءً على المتغير المستقل. يمثل الميل (Slope) في معادلة الانحدار مقدار التغير في المتغير التابع عند زيادة وحدة واحدة في المتغير المستقل. (Frost, 2019; Moore et al., 2014).

ويتم حساب معامل ارتباط بيرسون باستخدام الصيغة التالية:

$$r = \frac{\sum (x_i - \bar{x})(y_i - \bar{y})}{\sqrt{\sum (x_i - \bar{x})^2 \sum (y_i - \bar{y})^2}}$$

حيث:

x_i و y_i = نقاط بيانات فردية للمتغيرين x و y .

\bar{x} و \bar{y} = متوسطات المتغيرات x و y على التوالي.

Σ = مجموع الاختلافات بين كل نقطة بيانات والمتوسط.

وتحسب معادلة التوقع الخطى البسيط، والتي تتضمن متغيراً مستقلاً واحداً، وفق الصيغة التالية:

$$y = \beta_0 + \beta_1 x$$

حيث:

y = (المتغير المستقل)، يمثل معدل اعداد التدفقات السياحية المتوقعة من طريقة الاستئناف.

x = (المتغير التابع)، ويمثل معدل اعداد التدفقات السياحية الفعلية.

β_0 = النقطاع (قيمة y عندما يكون $x = 0$)

β_1 = الميل (التغير في y لـتغير وحدة واحدة في x)

وفي إطار التحليل بالتوقع الخطى (Linear Regression)، يُستخدم معامل التحديد R^2 لتقييم مدى قدرة المتغير المستقل (أو المتغيرات المستقلة) على تفسير التباين في المتغير التابع. ويمثل R^2 النسبة المئوية من التباين الكلى في المتغير التابع التي يمكن تفسيرها من خلال النموذج الخطى المستخدم (Montgomery et al., 2012). وتتراوح قيمة R^2 ما بين 0 و 1: حيث تشير القيمة 1 إلى أن خط الانحدار يفسر التباين في البيانات بالكامل، مما يعني أن جميع النقاط تتسمج تماماً مع خط التوقع. وفي المقابل، تشير القيمة (صفر) إلى أن النموذج لا يفسر أي من التباين، وبالتالي فهو غير مناسب للتنبؤ. والقيم الأقل من 0.3 تُعد مؤشراً على تأثير ضعيف جداً للمتغيرات المستقلة. بينما القيم بين 0.3 و 0.5 تعكس تأثيراً متوسطاً. أما القيم الأعلى من 0.5 فتشهد دليلاً على وجود علاقة قوية، حيث يتم تفسير جزء كبير من تباين المتغير التابع من خلال المتغيرات المدخلة في النموذج (Moore et al., 2014). وصيغة حساب معامل التحديد يتم وفق الصيغة التالية:

$$R^2 = 1 - \frac{\sum (y_i - \hat{y}_i)^2}{\sum (y_i - \bar{y})^2}$$

حيث:

y_i = القيم الفعلية (بيانات المرصودة)

\hat{y}_i = القيم المتوقعة من نموذج التوقع

\bar{y} = متوسط القيم الفعلية (متوسط بيانات المرصودة)

Σ = مجموع الفروق المربعة

$\Sigma (y_i - \hat{y}_i)^2$ = مجموع المربعات المتبقية (تباین غير مفسر)

$\Sigma (y_i - \bar{y})^2$ = مجموع المربعات (إجمالي التباين في البيانات)



- تحليل مقياس الجار الأقرب أو معامل صلة الجوار : Average Nearest Neighbor

يُعد مؤشر صلة الجوار من الأساليب الشائعة في التحليل المكاني، ويُستخدم لتحديد ما إذا كانت السمات الجغرافية تتبع نمطًا عشوائياً (clustered)، أو عشوائياً (random)، أو منتظمًا (uniform). وتكون أهميته بشكل خاص في تحليل التوزيع المكاني للعناصر النقاطية مثل الموقع السياحية. ووفقاً لـ Xu et al. (2024)، يتم حساب مؤشر صلة الجوار من خلال مقارنة متوسط المسافة الفعلية لأقرب جار- D_0 (Observed Mean Nearest- D_0) (Expected Mean Distance) (Neighbor Distance) بمتوسط المسافة المتوقعة (D_e) في ظل توزيع عشوائي افتراضي. وتعبر الصيغة عنه على النحو التالي:

$$\begin{aligned} \text{ANN} &= \bar{D}_0 / \bar{D}_E \\ \bar{D}_0 &= (\sum(d_i)) / n \\ \bar{D}_E &= 0.5 / \sqrt{(n / A)} \end{aligned}$$

حيث:

ANN : معالم صلة الجوار

D_0 : متوسط المسافة الفعلية لأقرب جار،

D_e : متوسط المسافة المتوقعة في توزيع عشوائي،

d_i : مسافة أقرب جار للنقطة،

n : عدد النقاط،

و A : مساحة منطقة الدراسة.

وتشير قيمة مؤشر صلة الجوار 1 < إلى وجود نمط عشوائي (Clustering)، بينما تشير صلة الجوار 1 ≈ إلى توزيع عشوائي (Random Distribution)، وتدل صلة الجوار 1 > على نمط منتظم (Xu et al., 2024).

- تحليل تقدير كثافة النواة أو الأب : (Kernel Density Estimation - KDE):

تُعد طريقة تحليل كثافة النواة تقنية مكانية تعتمد على التقدير غير المعلملي للكثافة (Nonparametric Density Estimation)، وُستُستخدم لتحويل توزيع العناصر النقاطية من نقاط منفصلة إلى سطح مستمر. كما تُستخدم هذه الطريقة على نطاق واسع لرصد التغيرات المحلية في تردد النقاط، وتُعد فعالة بشكل خاص في الكشف عن التباينات في الكثافة المكانية لتوزيع الموقع السياحية. ووفقاً لـ Yu et al. (2015)، يمكن لتحليل الكثافة التّويّة أن يوفر تمثيلاً بصرياً بدبيهاً (Intuitive Visualization) للهيكل المكاني لتوزيع الموقع السياحية، ما يقدّم رؤى قيمة للتخطيط الإقليمي (Regional Planning). وتحظى الصيغة العامة لهذه الطريقة على النحو الآتي:

$$f(x) = (1 / h^2) \times \sum [K((x - x_i) / h)], \text{ for } i = 1 \text{ to } n$$

حيث أن:

$f(x)$: قيمة كثافة النواة عند الموقع،

h : نصف قطر البحث،

$x - x_i$: يمثل المسافة بين الموقع x وكل موقع سياحي x_i يقع ضمن نصف قطر البحث،

K : دالة النواة (Kernel Function)، والتي تكون عادةً من نوع التوزيع الطبيعي جاوس Gaussian أو Epanechnikov،

و n : عدد الموقع السياحية ضمن نصف قطر البحث.

في حالة محافظة العلا، تم اختيار نصف قطر بحث يبلغ 5000 متر، بما يتوافق مع المساحة الكلية للأرض وكثافة بيانات نقاط مراكز الجذب، مما يتيح تمثيلاً أكثر دقة وقابلية للتفسير لأنماط التوزيع (Xu et al., 2024). وكلما زادت قيمة كثافة النواة ($f(x)$ ، دل ذلك على ارتفاع كثافة الموقع السياحية في ذلك الموقع، مما يشير إلى وجود تجمع محلّي (Local Cluster). وتُعد هذه التقنية أداة ذات قيمة كبيرة في تحديد المناطق الساخنة (Hotspots)، وتوجيه تطوير البنية التحتية السياحية (Yu et al., 2015).

- تحليل معلمات التوزيع الاتجاهي (القطع الناقص المعياري): SDE -

تُعد معلمات التوزيع الاتجاهي (القطع الناقص المعياري) أداة تحليل مكاني تُستخدم لتخفيض التوزيع الاتجاهي ودرجة التشتت للسمات النقاطية ضمن الفضاء الجغرافي. وتساعد هذه الأداة في تحديد الاتجاه المركزي (Central Tendency)، ومدى الانتشار (Spread)، ومدى الانبعاث (Orientation)، واتجاه الظواهر المكانية (Orientation).



الموقع السياحية. مركز الجذب السياحي، كما أشار Guo, Y., & Liu, M. (2021) تقوم طريقة القطع الناقص المعياري بحساب الانحراف المعياري للإحداثيات على محوري X وY باستخدام انحرافات موزونة عن المركز المتوسط (Mean Center)، مما يسمح برسم قطع ناقص يعبر عن الاتجاه المكاني العام (Spatial Trend). وتحظى صيغة الانحراف المعياري على محور X كما يلي:

$$\sigma_x = \sqrt{\left[\sum(w_i(\tilde{x}_i \cos \theta - \tilde{y}_i \sin \theta))^2 \right] / \sum(w_i^2)}$$

أما بالنسبة لمحور Y ، فيتم حساب الانحراف المعياري باستخدام صيغة مماثلة تعتمد على الإحداثيات الرأسية (Y-coordinates)، مما يسمح بتحديد مدى التشتت في الاتجاه العمودي ضمن النطاق المكاني.

$$\sigma_y = \sqrt{\left[\sum(w_i(\tilde{x}_i \sin \theta - \tilde{y}_i \cos \theta))^2 \right] / \sum(w_i^2)}$$

حيث:

θ : يشير إلى زاوية دوران الإهليلج بالنسبة إلى اتجاه مرجعي،
 w_i : وزن العنصر المكاني،

\tilde{x} و \tilde{y} : هما انحرافا كل عنصر عن المركز المتوسط في الاتجاهين X وY على التوالي.

ومن ثم تُنتج هذه الحسابات المحورين الرئيس (Major Axis) والثانوي (Minor Axis) للقطع الناقص، مما يساعد في تصور مدى التشتت والانحياز الاتجاهي للبيانات المكانية، مثل الموقع السياحية (Xu et al., 2024).

النتائج:

أولاً: التوزيع المكاني - الزمامي لمعدل أعداد السياح في محافظة العلا:

شهدت محافظة العلا تطوراً كبيراً في قطاع السياحة خلال الفترة من عام 2021 إلى 2023، حيث ارتفعت أعداد السياح بشكل ملحوظ، مما يعكس تحولها إلى وجهة سياحية عالمية. فقد استقبلت العلا في عام 2021 نحو 251 ألف سائح، وهو رقم تجاوز التوقعات لوجهة تراثية ناشئة، بحسب بيانات الهيئة الملكية لمحافظة العلا (2021). استمر هذا النمو في عامي 2022 و2023، حيث زاد عدد الزوار إلى أكثر من 278 ألف سائح سنوياً، نتيجة تفعيل الاستراتيجيات الترويجية، وتنظيم الفعاليات الثقافية، والاهتمام المحلي والولي المتزايد بموروث العلا الحضاري والطبيعي.

تميز النشاط السياحي في العلا بموسمية واضحة، حيث يُعد فصل الشتاء هو الموسم الذهبي للسياحة، مستحوذاً على 41.9% من إجمالي عدد السياح خلال فترة الدراسة، بمعدلات تراوحت بين 11 و6200 سائح، وبمتوسط 3105 سائح. وتتمثل أهمية فصل الشتاء في كونه أكثر اعتدالاً مناخياً، مما يشجع على تنظيم فعاليات ثقافية كبرى مثل مهرجان "شتاءطنطورة"، الذي يجذب السياح من مختلف الجنسيات (Srrorr, 2024) في المقابل، يُعد فصل الصيف الأقل جذباً، حيث لا يتجاوز نصبه 11.9% من السياح، بسبب ارتفاع درجات الحرارة التي تصل إلى 40 درجة مئوية، ما يقلل من جاذبية المواقع المفتوحة (Koenig & Bischoff, 2005). أما فصل الربيع والخريف، فقد شكل مواسم انتقالية، إذ سجل الربيع 21.1% والخريف 25.1% من إجمالي الزوار، مع تحسن ملحوظ في الخريف، الذي يُعد بداية الصعود نحو موسم الذروة الشتوية.

في إطار تحليل التوزيع المكاني - الزمامي لمعدلات أعداد السياح في محافظة العلا، تم اعتماد أسلوب كرينجن الاعتيادي (Ordinary Kriging) كأداة جغرافية إحصائية متقدمة تسمح بتغيير قيم غير معروفة في الموقع التي لا تتوفر فيها بيانات مباشرة حول أعداد السياح، بالاستناد إلى الترابط المكاني (spatial autocorrelation) بين النقاط المرصودة. وتعُد هذه التقنية واحدة من أكثر طرق الاستيفاء الجغرافي دقة، إذ تأخذ في الاعتبار المسافة والاتجاه بين النقاط لتقدير القيم، مما يتتيح إنتاج خرائط اشتراق ذات موثوقية عالية تعكس واقع التوزيع الفعلي للسياحة. حيث أظهرت نتائج الاشتراق المكاني باستخدام كرينجن الشكل (2)، أن فصل الشتاء يُظهر بوضوح تراكزاً سياحياً مرتقاً في وسط وجنوب المدينة القديمة، حيث بلغت مساحة المناطق ذات الكثافة العالية 1459.3 كم²، ما يمثل 5.1% من إجمالي مساحة المحافظة، بمعدلات سياحية تراوحت بين 3100 إلى 6200 سائح. وتعُد هذه المنطقة قلب النشاط السياحي، نظراً لاحتواها على أبرز الموقع التراثية والفعاليات الموسمية الشتوية. أما في فصل الصيف، فقد أشارت التقديرات إلى تراجع كبير في الكثافة السياحية، حيث انخفضت معدلات السياحة إلى مدى يتراوح بين 160 إلى 1600 سائح فقط، وتمثلت المناطق ذات التركز المرتفع في مساحة قدرها 3580 كم²، بما يعادل 12.5% من مساحة العلا، بينما استحوذت المناطق ذات الكثافة

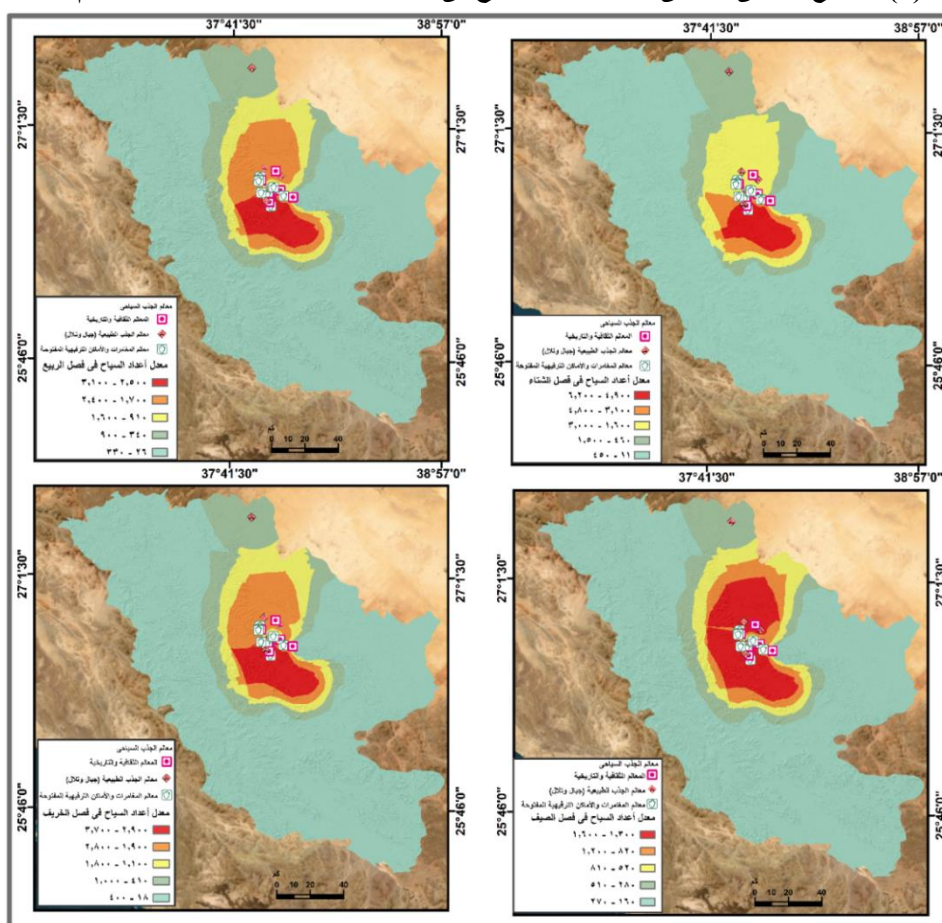


المنخفضة (أقل من 800 سائح) على نسبة 81.6% من إجمالي المساحة، ما يعكس تأثير الظروف المناخية القاسية على تراجع الإقبال السياحي خلال هذا الفصل.

وبالنسبة لفصلي الربيع والخريف، فقد أظهر التحليل نمطاً متكرراً تمثل في امتداد مناطق التركيز السياحي المتوسط على شكل أحزمة تحيط بمناطق التنمية في مدينة العلا، مثل مركز الحجر، ومغيرة، والعذيب. حيث تتميز هذه المناطق بمدى سياحي يتراوح بين 900 إلى 1900 سائح، مما يجعلها مناطق وسيطة في النشاط السياحي، تعكس تحولات تراثية بين المواسم منخفضة وعالية الكثافة. ومن ثم يوفر هذا التحليل عبر تقنية كرينجن فهماً عميقاً لتوزيع السياحة عبر المساحة والزمن، ويساعد في توجيه الخطط التنموية نحو توسيع نطاق الاستفادة السياحية خارج مناطق التركيز المعتادة، وتحقيق التوازن المكاني من خلال تطوير البنية التحتية والخدمات في المناطق المتوسطة والضعيفة الكثافة.

أما فيما يتعلق بتوزيع المكانى لموقع الجذب السياحي، فقد أظهرت الدراسات أن معظم مناطق الجذب الأثرية والطبيعية تتركز في شمال محافظة العلا، خصوصاً داخل حدود منطقة التنمية. ويرجع ذلك إلى غنى المنطقة بالموقع الأثري والتاريخي والثقافي والطبيعي مثل مداين صالح (الحجر) والتكتونيات الصخرية والمواقع المفتوحة للمغامرات (السرانى وأخرون، 2022). وتشير "خطة تنمية السياحة المستدامة" إلى أن هذه المنطقة تجمع بين المقومات الثقافية والطبيعية، مما يجعلها وجهة متكاملة تقدم تجربة سياحية متنوعة تشمل الاستكشاف التارىخي والاستمتاع بجمال الطبيعة، بما يحقق أهداف التنمية المستدامة السياحية (الهيئة العليا للسياحة، د.ت) وذلك على النحو التالي، كما يتضح من الشكل (2):

شكل (2) التوزيع المكاني الفصلى لمعدل أعداد السياح فى محافظة العلا للفترة الممتدة ما بين عام 2021 - 2023م





تحتضن محافظة العلا مجموعة متميزة من مواقع الجذب السياحي التي تجمع بين التراث الأثري العربي والطبيعة الساحرة والأنشطة الثقافية، مما يجعلها وجهة شاملة تستقطب أنماطاً مختلفة من الزوار. وتبرز

جدول (1)، موقع الجذب السياحي في محافظة العلا خلال الفترة الممتدة ما بين عامي 2021 و2023م

الإحداثيات الشرقية (E)	الإحداثيات الشمالية (N)	موقع الجذب	رقم
37° 54' 58.57"	26° 39' 2.16"	الخربيبة (دadian ولحيان)	1
37° 57' 42.94"	26° 47' 28.32"	جبل أثبل	2
37° 53' 0.07"	26° 48' 36.45"	جبل الحوار أو صخرة الحوارة	3
37° 54' 46.06"	26° 39' 20.20"	محلب الناقة	4
37° 48' 7.99"	27° 20' 55.26"	أرض الغراميل	5
37° 58' 48.47""	26° 41' 18.44"	صخرة الفيل	6
37° 54' 54.11"	26° 37' 30.07"	مدينة العلا القديمة	7
37° 55' 23.79"	26° 36' 31.19"	متحف العلا	8
37° 54' 3.58"	26° 41' 10.39"	جبل عكمه	9
37° 57' 8.15"	26° 47' 33.90"	مدافن صالح (الحجر)	10
37° 54' 12.65"	26° 39' 50.18"	المتنزه الشتوي (الحديقة الشمالية)	11
37° 54' 59.12"	26° 37' 28.27"	الطنورة	12
37° 55' 29.06"	26° 36' 11.55"	حديقة النخيل	13
37° 54' 54.92"	26° 37' 33.01"	قلعة العلا موسى بن نصیر البلوي	14
37° 51' 32.08"	26° 45' 42.99	منتجع هابيتس	15
37° 53' 48.13"	26° 37' 56.74"	مطرل الحرة	16
37° 51' 55.35"	26° 44' 34.81"	مسرح ماريا	17
37° 50' 57.77"	26° 44' 36.72"	منتجع بانيان تري العلا	18
37° 56' 25.48"	26° 42' 23.07"	المنزل الريفي نسيم العذيب	19
38° 0' 6.24"	26° 39' 35.56"	منتجع صحاري العلا	20
37° 51' 0.09"	26° 44' 23.37"	منتجع وادي عشار الخيم	21
38° 3' 24.92"	26° 39' 9.89"	قاع الحاج	22
37° 51' 58.93"	26° 40' 33.36"	مركز المغامرات في العلا	23

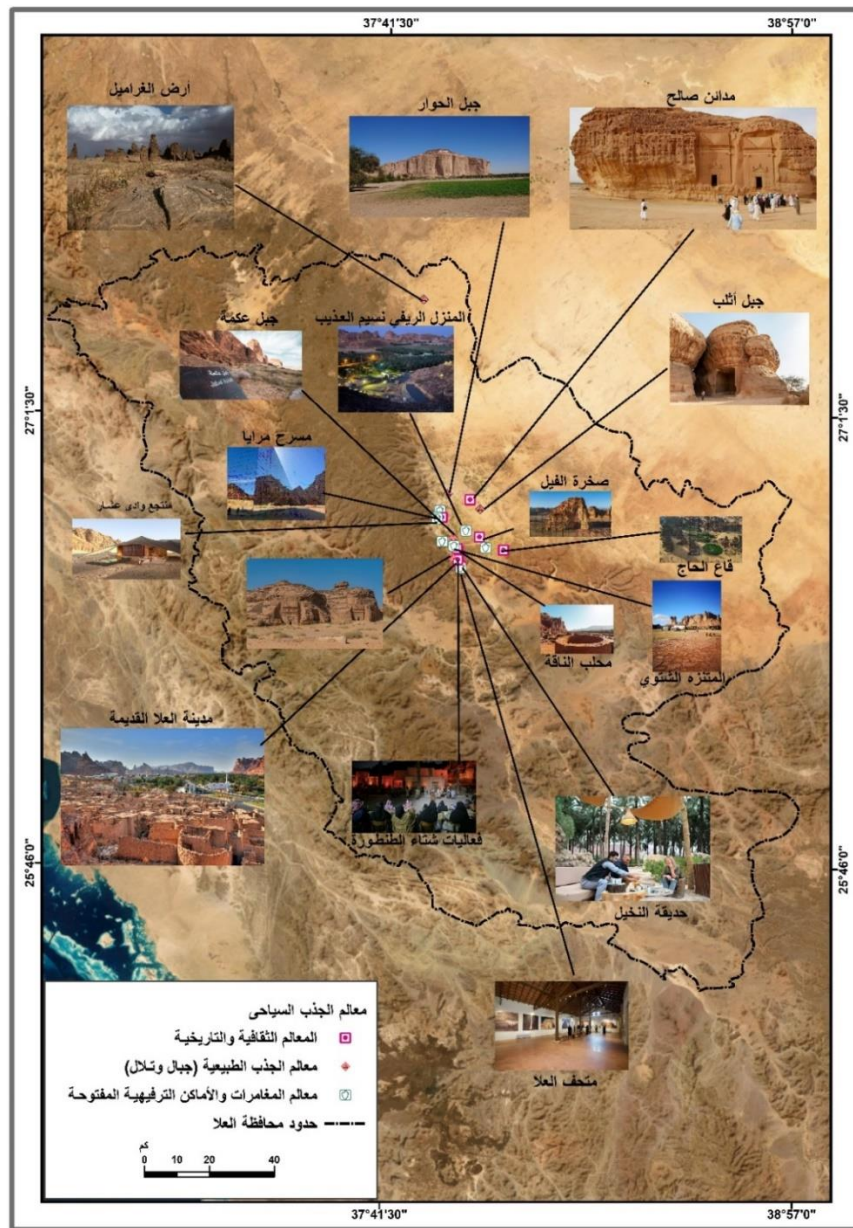
مدافن صالح (الحجر) في مقدمة هذه المواقع، حيث تُعد أول موقع سعودي ضمن قائمة التراث العالمي لليونسكو منذ عام 2008، لما تحتويه من أكثر من 140 مقبرة نبوية منحوتة في الجبال، أشهرها "قصر البنت" و"الديوان"، والتي تعكس البراعة المعمارية للحضارة النبوية. كذلك تضم منطقة الخربة (دیدان) آثاراً لمملكتي دیدان ولحيان، مثل "محلب الناقة" و"مقابر الأسود"، وتُعد هذه المواقع رمزاً للطقوس والمعتقدات القديمة في شمال شبه الجزيرة العربية. ومن المواقع الأثرية البارزة أيضاً قرية قاع الحاج التي كانت محطة رئيسية على طريق الحج الشامي، إذ استفادت من تجمع مياه الأمطار لتوفير الموارد للقوافل. أما مدينة العلا القديمة، المصنفة كإحدى أهم ثلاث مدن إسلامية تاريخية، فتضم أكثر من 700 منزل تراثي وموقع بارزة مثل قلعة موسى بن نصیر، التي توفر إطلالة بانورامية على المدينة من أعلى الهضبة (Altassan, 2023).

أما في الجانب الثقافي، تلعب فعاليات شتاء طنطورة دوراً محورياً في تنشيط الحركة السياحية، حيث تقدم مزيجاً من العروض الموسيقية العالمية والأنشطة التراثية. كما تضم محافظة العلا أيضاً متحف العلا ومتحف سكة حديد الحجاز، حيث تعرض فيما قطع أثرية نادرة ومجسمات تحاكى تاريخ المنطقة. كما يشتهر مسرح مرايا في وادي عشار بكونه أكبر مبنى مغطى بالمرايا في العالم، ويعود من أبرز مراكز الفعاليات الثقافية والفنية (الهيئة الملكية لمحافظة العلا، 2022).



أما المعالم الطبيعية، فتتصدرها جبل الفيل، وهو تكوين صخري مدهش يشبه فيلاً ضخماً ويُعد نقطة جذب سياحي مميزة لهواة التصوير. ويليه وادي شر عان بتشكيلاته الصخرية والحياة البرية الغنية، وجبال أثقب بعمراته الطبيعية. كما يشتهر جبل الحواربة بقصته المرتبطة بحوار ناقة النبي صالح عليه السلام، ويُعد موقعاً مثالياً للهدوء والاستكشاف. وفي أرض الغراميل، التي تُشبه متحفاً طبيعياً مفتوحاً، يجد الزائر تشكيلات صخرية عمودية فريدة، ويمكنه رصد مجرة درب التبانة بوضوح في سماء خالية من التلوث الضوئي. وتكمel جبل عكمة الصورة الشاملة كموقع زاخر بالنقوش الحليانية القديمة. وإلى جانب ذلك، تتنوع خيارات الإقامة والأنشطة السياحية في موقع مثل منتجع بانيان تري العلا، منتجع هابيتاس، منتجع صحارى العلا، منتزه وادي عشار، وحديقة النخيل، إلى جانب مراكز المغامرات والمأكولات البيئية مثل "مدخيل"، ما يعزز من مفهوم السياحة الفاخرة والبيئية في المحافظة. وتعكس هذه الموقع جهود الهيئة العامة للسياحة والتراث الوطني في تطوير منطقة التنمية بمحافظة العلا، حيث تم تأهيل الموقع الأثري وتزويدتها بالبنية التحتية، وترميم المسارات، وتحسين الطرق والخدمات، بهدف توفير تجربة سياحية متكاملة ومستدامة (الهيئة العامة للسياحة والتراث الوطني، 2017).

شكل (3) معالم الجذب السياحي الرئيسية بمحافظة العلا



- في سياق تقييم دقة الاستيفاء، أظهرت نتائج متوسط النسبة المئوية لمربع جذر الخطأ RMSE % جدول (2)، لفصول الشتاء، الربيع، الصيف، والخريف فيما يلي على التوالي: 11.39%， 17.35%， 8.73%， 10.18%， وهي جميعها تقع ضمن النطاق المقبول إحصائياً، ما يعكس مستوى دقة عالٍ في التقديرات. ووفقاً لما أوضحت Hengl et al. (2004)، حيث تُعد القيم التي تقل عن 40% مقبولة، بينما تشير النسب التي تتجاوز 70% إلى ضعف كبير في الدقة. وتنظر هذه النتائج أن نموذج كريجينج المستخدم يتمتع بموثوقية عالية، دون تأثير ملحوظ



للقيم المتطرفة أو تحيز في التقديرات، وهو ما تعززه أيضًا مخططات التشتت (Scatterplots) التي بينت اتساعًا قويًا بين القيم المرصودة والمقدرة، مما يؤكد كفاءة المنهج في تفسير الأنماط المكانية والزمانية بدقة.

جدول (2) تقييم دقة الاستيفاء بطريقة كريجينج الاعتيادي لمعدل أعداد السياح في محافظة العلا للفترة الممتدة من عام 2023 – 2021

فصول السنة	الخطأ % RMSE	القييم	معامل ارتباط بيرسون (r)
الشتاء	17.35	مقبول	0.965
الربيع	11.39	مقبول	0.971
الصيف	8.73	مقبول	0.978
الخريف	10.18	مقبول	0.977

- كما تبين من نتائج تحليل معامل ارتباط بيرسون (R) بين القيم المرصودة والمقدرة باستخدام طريقة كريجينج الاعتيادي ارتباطاً إيجابياً قوياً جدًا، حيث بلغت قيم R لكل من الشتاء والربيع والصيف والخريف على التوالي: 0.978، 0.971، 0.965، 0.977. وتشير هذه النتائج إلى وجود تطابق كبير بين القيم المتوقعة والمرصودة، مما يعكس دقة تنبؤية عالية للنمذاج المستخدمة. ووفقاً لـ (Mukaka, 2012) فإن القيم الأقرب إلى 1 تدل على علاقة خطية قوية، بينما يوضح (Hinkle et al., 2003) أن ارتباطات تتجاوز 0.95 تعني أن النموذج قادر على التقاط التباين في البيانات بشكل موثوق، وهو أمر حاسم في التطبيقات التنبؤية والعلمية. ويُكمل معامل التحديد (R²) دور معامل ارتباط بيرسو (R) في تقييم دقة النمذاج التنبؤية، حيث تعكس قيمة R² نسبة التباين في القيم المرصودة التي يمكن تفسيرها بواسطة القيم المقدرة. وقد بلغت قيم R² لمعدلات أعداد السياح في محافظة العلا لكل من الشتاء، الربيع، الصيف، والخريف على التوالي: 0.932، 0.943، 0.956، 0.954، مما يشير إلى أن أكثر من 93% من التباين في البيانات يمكن تفسيره من خلال النمذاج المستخدمة. وثُعد هذه النسب مؤشرًا قوياً على كفاءة النموذج، خصوصاً عندما تقترب قيم R من 1، وهذا هو معيار رئيسي في تقييم النمذاج التنبؤية الدقيقة (Cameron & Windmeijer, 1997).

- يوفر تحليل الانحدار الخطى البسيط رؤى مهمة حول العلاقة بين القيم المرصودة والمتوقعة لمعدلات أعداد السياح، من خلال كل من الميل (slope: b) والجزء المقطوع من المحور (intercept: a). حيث أظهرت النتائج أن قيم الميل في فصول الشتاء، الربيع، الصيف، والخريف بلغت على التوالي: 0.932، 0.943، 0.956، 0.954، مما يشير إلى وجود علاقة خطية قوية بين القيم المقدرة والمرصودة، وإن كانت هناك انحرافات طفيفة عن التناسب المثلثي (حيث أن الميل المثلثي = 1) (James et al., 2013). أما القيم المقابلة للجزء المقطوع فبلغت 150.95، 166.78، 166.68، 157.95 على التوالي الجدول (3)، وهي قيم تعكس وجود تحولات طفيفة ولكن منهجية في التقديرات. وبُعد اقتراب التقاطع من الصفر دليلاً على الحد الأدنى من التعديلات المطلوبة لمواهمة النموذج مع البيانات الحقيقية، وهو مؤشر إيجابي على جودة النموذج. وتشير هذه النتائج مجتمعة إلى أن النموذج المستخدم يلتقط بنية البيانات الأساسية بكفاءة، حيث يظهر معظم التباين داخل العلاقة التنبؤية مع درجة عالية من الثبات عبر الفصول. ووفقاً لـ (Field, 2013) فإن الميل القريب من 1 والتقاطع المنخفض يعكسان نموذجاً خطياً دقيقاً يمكن الاعتماد عليه في التنبؤات المستقبلية، مما يعزز من اتساق وموثوقية النمذاج المطبقة في تحليل الانحدار. وقد ساعدت مخططات التشتت (Scatterplots) في تأكيد هذه العلاقة بصرياً، من خلال التوزيع المنظم للنقاط حول خط الاتجاه في جميع الفصول (4)، (5).

يُظهر النموذج في فصل الشتاء أداءً قوياً، حيث نجح في التقاط معظم التباين في البيانات المرصودة مع وجود انحرافات طفيفة فقط عن الخطية المثلثية، مما يعكس دقة تنبؤية عالية. أما في فصل الربيع، فتظل قوة النمذاج جيدة، لكن قيمة التقاطع المرتفعة نسبياً تشير إلى أن التقديرات قد تكون مبالغًا فيها عند المستويات المنخفضة من القيم المرصودة. في المقابل، يُعد أداء النموذج في فصل الصيف الأعلى دقة، إذ يلتقط التباين بفاعلية ويُظهر اتساعاً واضحًا بين القيم المقدرة والمرصودة. أما في فصل الخريف، فإن النموذج يُظهر موثوقية جيدة في التنبؤ العام، رغم وجود بعض التشتت في بعض نطاقات البيانات، مما يشير إلى إمكانية تحسين التنبؤ في تلك المناطق.



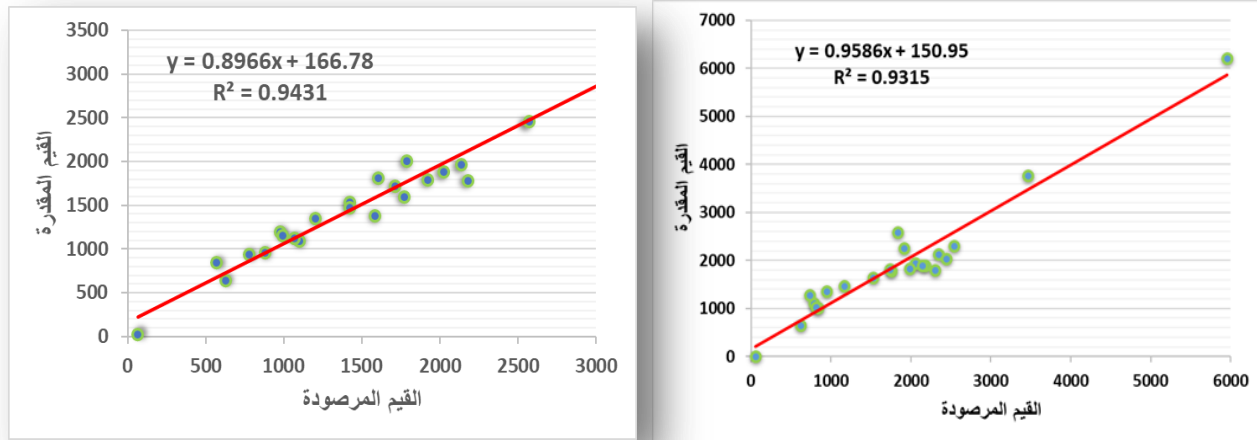
وبصورة شاملة، تثبت هذه النتائج أن النماذج التنبؤية المستخدمة تتمتع بكفاءة عالية ودقة موثوقة في مختلف فصول السنة، مع قابلية للتحسين الدقيق عند نطاقات معينة لضمان تعزيز الأداء التنبؤي المستقبلي.

جدول (3) معادلة خط الإنحدار البسيط لمعدل أعداد السياح في مراكز الجذب السياحي بمحافظة العلا للفترة الممتدة من عام 2021 – 2023

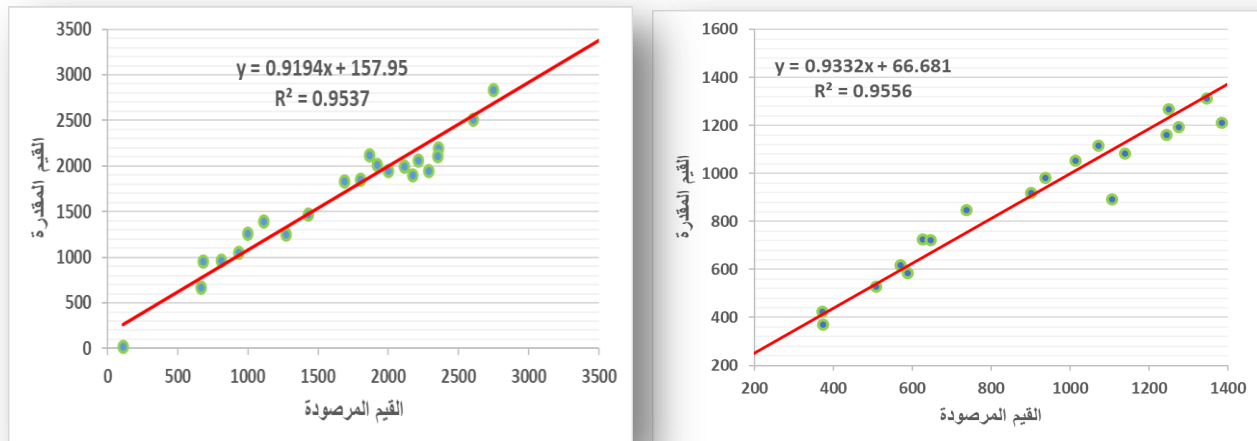
فصل الخريف	فصل الصيف	فصل الربيع	فصل الشتاء	فصول السنة
2352	1413	2138	2346	مركز الجذب السياحي
1801	1071	1715	1755	الخريبة (دادان ولحيان)
809	507	780	783	جبل أثاب
2287	1383	2179	2300	محاب الناقة
3639	1423	3039	5956	صخرة القيل
1269	1243	1103	834	مدينة العلا القديمة
2114	1274	1924	2051	متحف العلا
2212	1346	2024	2180	جبل عكمة
996	625	976	942	مدائن صالح
665	373	630	620	جبل الحوار أو صخرة الحوار
2600	1483	2571	2541	أرض الغراميل
2746	1250	1791	3464	المتنزه الشتوي (الحديقة الشمالية)
930	570	880	813	الطاطورة
1862	1012	1604	1837	حديقة النخيل
1112	646	996	1162	قلعة العلا موسى بن نصیر البلوي
1920	900	1425	1916	منتجع هايتاس
2348	1139	1773	2439	مطر الحرة
1687	737	1204	1737	مسرح ماريا
680	371	567	730	منتجع بانيان تري العلا
1996	937	1421	1987	المنزل الريفي نسيم العذيب
2169	1106	1585	2140	منتجع صهاري العلا
108	165	65	58	منتجع وادي عشار الخيام
1429	587	1071	1529	قاع الحاج
0.954	0.956	0.943	0.932	مركز المغامرات في العلا
157.95	66.68	166.78	150.95	معامل التحديد (R^2)
0.92	0.93	0.90	0.96	الجزء المقطوع من المحور Y Intercept (a)
				Slope (b)



شكل (4) مخطط التشتت وخط الانحدار البسيط لقيم معدل أعداد السياح المرصودة والمقدرة في فصل الشتاء والربيع.



شكل (5) مخطط التشتت وخط الانحدار البسيط لقيم معدل أعداد السياح المرصودة والمقدرة في فصل الصيف والخريف



ثانياً - التحليل المكانى لأنماط معالم الجذب السياحى فى محافظة العلا:

اعتماداً على تصنیفات الهيئة العامة للسياحة والتراث الوطني (2017) والهيئة العليا للسياحة (د.ت)، إلى جانب الدراسات الأكاديمية (السرانى & آل زبن، 2022؛ الزهراني، 2009)، تم تصنیف معالم الجذب السياحى في محافظة العلا إلى ثلاثة فئات رئيسة تعكس تنوع الموارد السياحية في المنطقة، يوضحها الجدول (4)، والشكل (6):

- المعالم الجيومورفولوجية (Geomorphological Features): وتشمل التكوينات الجغرافية الفريدة والتضاريس الطبيعية مثل الجبال، الأودية، والتكتونيات الصخرية، وقد بلغ عددها 131 معلماً، ما يمثل نحو 75.29% من إجمالي المعالم السياحية، وهو ما يعكس التقليل البيئي والطبيعي في تشكيل هوية العلا السياحية.

- المعالم التاريخية (Historical Sites): تضم المواقع الأثرية، المباني التراثية، القلاع، والقرى القديمة، وتشكل 32 معلماً، أي ما يعادل 18.39% من إجمالي المعالم، ما يؤكد أهمية البعد الثقافي والتاريخي في تكوين الجذب السياحى بالمحافظة.

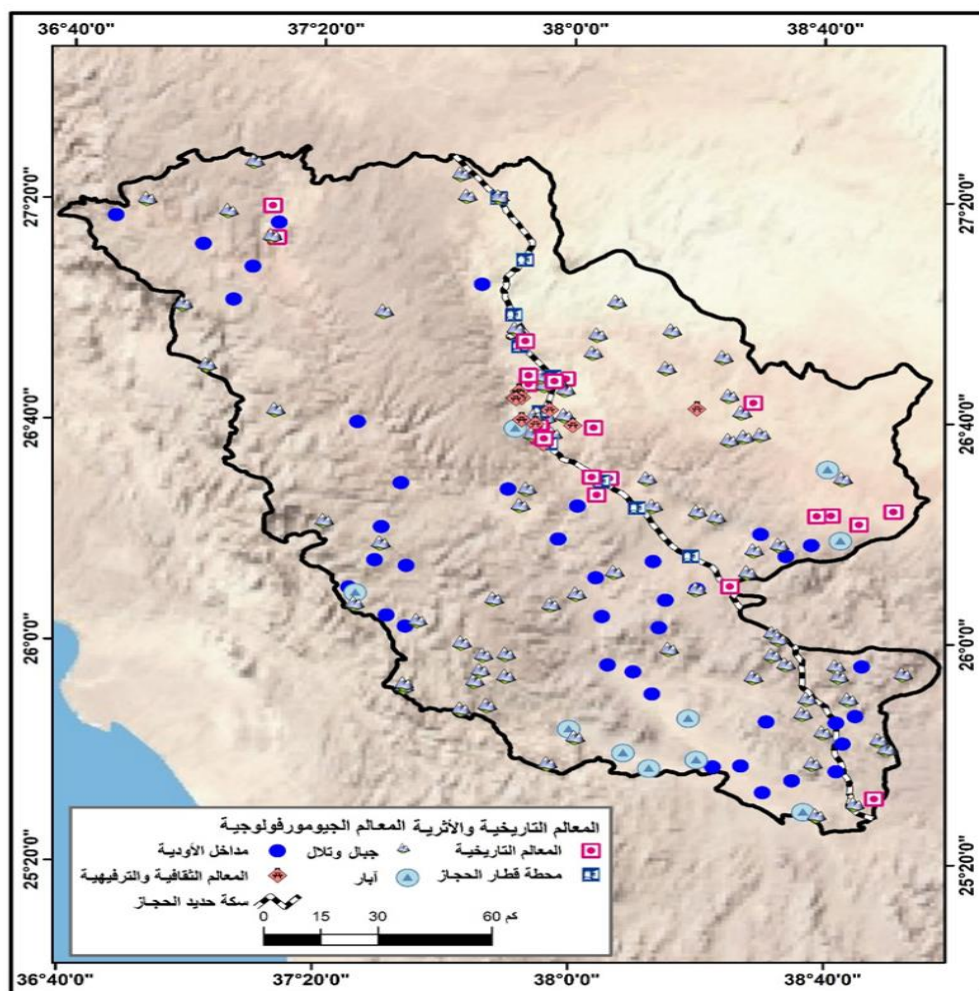


- المعالم الثقافية والترفيهية (Cultural & Recreational Attractions): وهي تتضمن المتاحف، المتزهات، الأسواق التراثية، والمنتجعات، حيث بلغ عددها 11 معلماً، وهو ما يمثل 6.32% من جملة المعالم، ويُعزز دور الأنشطة الترفيهية في دعم السياحة المستدامة وجذب قوّات متعددة من الزوار.

جدول (4) تصنیف معالم الجذب السياحی بمحافظة العلا

النوع (%)	العدد	الوصف	النطاق
18.39	32	المواقع الأثرية (تراث الثقافي)	المعالم التاريخية
6.32	11	الحدائق والمتزهات، المناطق الترفيهية، المتاحف	المعالم الثقافية والترفيهية
75.29	131	الجبال، التلال، مداخل الأودية، وما إلى ذلك	المعالم الجيومورفولوجية

يعكس هذا التقسيم تميّز محافظة العلا بتنوع أنماط الجذب السياحي، حيث تهيمن الموارد الطبيعية على المشهد العام، مع دعم واضح من المعالم التاريخية والثقافية، مما يشكّل مزيجاً متكاملاً يعزز من مكانة العلا كوجهة سياحية عالمية ذات طابع فريد.



شكل (6) معالم الجذب السياحى التاريجية والجيومورفولوجية والثقافية والترفيهية في محافظة العلا -المصدر عمل الطالبة



كشف تحليل مقياس الجار الأقرب لمعالم الجذب السياحي في محافظة العلا الجدول (5)، والشكل (7)، أن قيمة المؤشر الكلي بلغت 0.82، مما يشير إلى أن توزيع المعامل يتبع نمطاً مكائنياً متقارباً أقرب للعشوائية. إلا أن قيمة درجة المعيارية Z المحسوبة 4,60، مع هامش خطأ يساوى صفر، تؤكد أن هذا التقارب ذو دلالة إحصائية قوية، ما يعني أنه ليس عشوائياً ويحتمل أن يكون ناتجاً عن آلية مكائية منظمة. وعند تحليل الفئات الفرعية، تبين ما يلى:

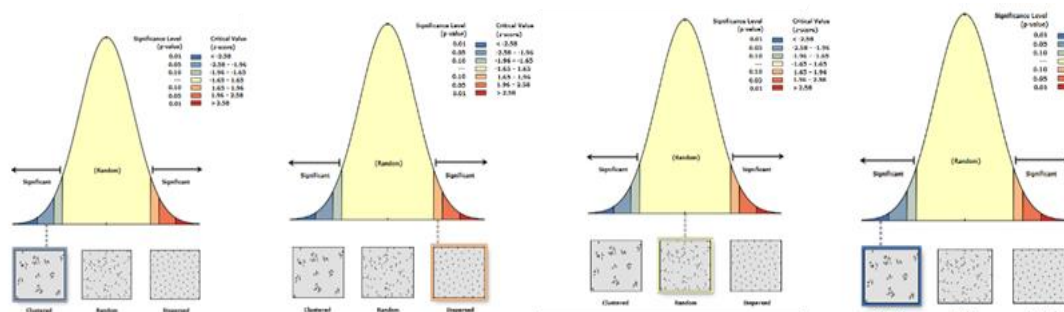
جدول (5) معامل صلة الجوار لمعالم الجذب السياحي في محافظة العلا

نط التوزيع المكائني	قيمة الاحتمالية (p-Value)	الدرجة المعيارية (Z-Score)	المسافة المتوقعة (بالمتر)	المسافة الفعلية (بالمتر)	معامل صلة الجوار	النط
النمط متقارب يتجه نحو النمط العشوائي	0.16	1.40-	11395.98	9923.16	0.87	المعالم التاريخية
نط متباعد غير منتظم	0.06	1.88	4258.65	5521.85	1.30	المعالم الثقافية والترفيهية
النمط متقارب يتجه نحو النمط العشوائي	0.01	2.57-	8179.16	7223.35	0.88	المعالم الجيومورفولوجية
النمط متقارب يتجه نحو النمط العشوائي	0.00	4.60-	7299.07	5971.93	0.82	معالم الجذب السياحي بمحافظة العلا

- بلغت قيمة معامل صلة الجوار للمعلم التاريخية بلغ 0,87، مما يشير إلى تقارب مكائني غير دال إحصائياً، حيث بلغت درجة المعيارية Z المحسوبة (-1,4,0) مع قيمة احتمالية 0,16. وبالتالي، لا يمكن الجزم بأن نمطها منتظم، رغم وجود بعض التقارب الظاهري.

- أما المعالم الجيومورفولوجية فبلغت قيمة معامل صلة جوار قدره 0,88 ، مع بدرجة معيارية بلغت -2.57 وهامش خطأ 0,01، مما يدل على نط متقارب معنوي إحصائياً. ويمكن تفسير هذا التقارب بعوامل بيئية أو جيولوجية، مثل توزع التكوينات الطبيعية المميزة. وفي المقابل، أظهرت المعالم الثقافية والترفيهية نمطاً متباعداً في توزيعها، حيث بلغت قيمة معامل صلة جوار قدره 1,3، وقيمة درجة معيارية بلغت (1,88)، مع هامش خطأ 0,06، مما يعكس تشتتاً مكائنياً ذا دلالة ضعيفة. وقد يعزى هذا التباعد إلى قرارات تخطيطية أو تفضيلات عمرانية، دون وجود انتظام مكائني صارم.

شكل (7) معامل صلة الجوار لمعالم الجذب السياحي التاريخية والجيومورفولوجية والثقافية والترفيهية في محافظة العلا



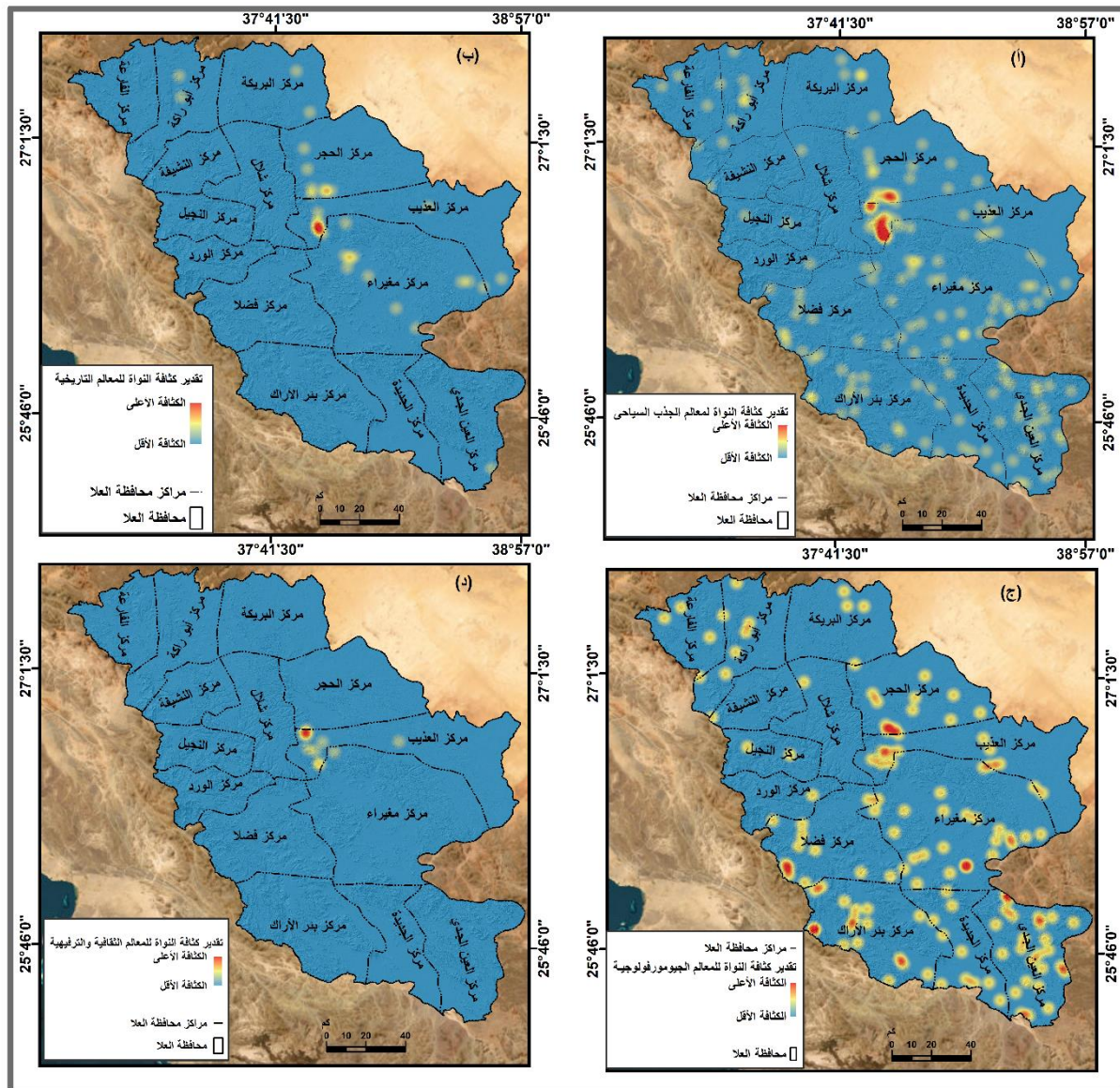
معامل الجذب السياحي بمحافظة العلا المعالم التاريخية المعالم الثقافية والترفيهية المعالم الجيومورفولوجية

وبناءً عليه، يتضح من تحليل معامل صلة الجوار أن تفسير الأنماط المكائنية لمعالم الجذب السياحي لا يعتمد فقط على القيمة العددية للمعامل، بل يتطلب أيضاً النظر في الدرجة المعيارية (Z -score) والقيمة الاحتمالية (P-value) فعلى الرغم من أن المعالم التاريخية أظهرت معاملًا أقل من 1، مما يوحى بالتقريب، إلا أن ارتفاع القيمة الاحتمالية وضعف الدرجة المعيارية أشاراً إلى أن هذا النط غير معنوي إحصائياً وقد يكون ناتجاً عن توزيع



عشوائي. في المقابل، بيتت المعالم الجيومورفولوجية تكتلاً واضحًا بدلاله إحصائية قوية، حيث ارتبطت قيم الدرجة المعيارية المرتفعة بقيمة احتمالية منخفضة جدًا، مما يعزز موثوقية هذا النمط المكاني. أما المعالم الثقافية والترفيهية، فقد أظهرت نمطاً متبايناً مكانيًا، إلا أن دلالته الإحصائية كانت ضعيفة نسبياً، مما يحدّ من إمكانية التعميم. وبناءً على ما سبق، يمكن الاستنتاج أن معالم الجذب السياحي في العلا تتبع عموماً نمطاً متكتلاً، مع اختلاف في درجة التكتل بين أنواع المعالم؛ حيث تتميز الجيومورفولوجية بتكتل معنوي واضح، بينما تتسم المعالم التاريخية بتقرب غير معنوي، وتظهر المعالم الثقافية متبايناً غير حاسم إحصائياً. وتعكس هذه البيانات الخصائص الجغرافية والتخطيطية لكل نوع من المعالم، وتؤكد أهمية تحليل الأنماط المكانية في دعم القرارات التخطيطية. إذ يُعد استخدام معامل صلة الجوار أداة فعالة لتحديد مناطق الجذب ذات الكثافة العالية، ما يُسهم في توجيه الاستثمارات نحو تطوير البنية التحتية، كالفنادق والنقل والخدمات السياحية الأخرى. كما يساعد على تحسين تخصيص الموارد المواقع ذات الكثافة المنخفضة، خاصة المعالم الثقافية والترفيهية، بما يعزز النمو السياحي المتوازن والمستدام (Fadhil & Ikhwan, 2024; Wang, Wang, & Chun, 2016).

- تبين من تحليل تقدير كثافة النواة أو اللب (Kernel Density Estimation - KDE) عدم تجانس التوزيع المكاني لمعلم الجذب السياحي في محافظة العلا، مما يعكس نمطاً من التنمية السياحية متعددة المراكز. حيث تُسجل أعلى الكثافات في مركز العذيب والجر، حيث تتركز المواقع الأثرية والتاريخية الكبرى مدعومة ببنية تحتية متطرورة، تشمل شبكات الطرق، الفنادق، والمرافق السياحية، مما يعزز من سهولة الوصول وزيادة حركة الزوار (شكل 8-أ). في حين تركزت المعالم التاريخية تحديداً في الجانب الغربي من هذين المركزين، وتشمل موقع بارزة: مدائن صالح، البلدة القديمة، قصر الفريد، قصر البن، قصر العجوز، والخربي، وهي موقع تُسجل مستويات كثافة مرتفعة نظراً لغناها التراثي والثقافي (شكل 8-ب). وفي المقابل، اتسمت المعالم الجيومورفولوجية بتوزيع أوسع، حيث ظهرت مراكز كثافة عالية في عدة مواقع طبيعية بارزة، مثل: جبل أثلب، جبل الحوار، جبل الخريمات، جبل عكمه، صخرة الفيل، مطل الحرفة، حفرة ثلعة واسط، جبل الهرمث، وادي المهار، جبل سفر، جبل جرير، جبل ثقب أبس، جبل غرة، جبل أثلان، جبل ريشة، وادي ثعلب، جبل الشحر، جبل المرزوقة، جبل جوم، جبل سر، بئر جيدة، ووادي فرى (شكل 8-ج). هذا التنوع في التوزيع يعكس الترابط بين هذه المواقع والخصائص الجيومورفولوجية للمنطقة. أما المعالم الثقافية والترفيهية، فقد تركزت في أقصى شمال غرب مركز العذيب، خاصة في مناطق منتجع هابيتاس، بانيان تري، ومسرح مرايا، وهي موقع تُعكس توجه العلا نحو تعزيز السياحة الفاخرة والتجارب الثقافية المتميزة (شكل 8-د). ومن ثم يؤكد هذا التحليل المكاني أهمية التخطيط السياحي المتوازن، لضمان توزيع الأنشطة السياحية بطريقة مستدامة تراعي إمكانات الموارد الطبيعية والثقافية، وتسهم في توجيه الاستثمارات بشكل فعال، مما يعزز النمو المتوازن والتكامل المكاني في قطاع السياحة بمحافظة العلا.



شكل (8) تقدیر كثافة النواة لمعالم الجذب السياحي في محافظة العلا

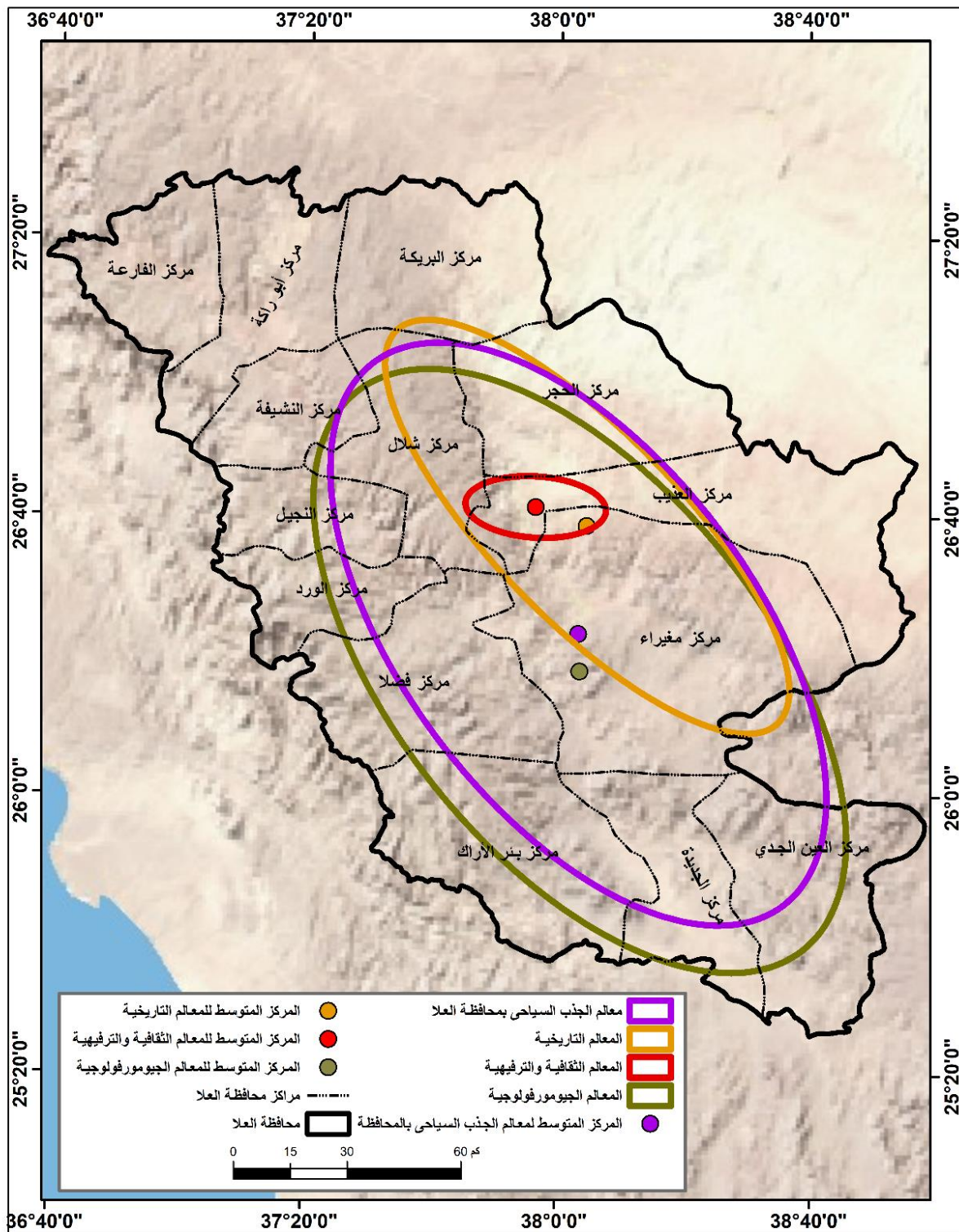
- أظهرت نتائج تحليل (القطع الناقص المعياري) Standard deviation ellipse - SDE ، أن التوزيع المكاني لمعالم الجذب السياحي في محافظة العلا يتبع شكلاً بيضاوياً مائلاً يمتد بمحور من الجنوب الغربي نحو الشمال الشرقي، وهو اتجاه يتوافق مع الشكل الجغرافي العام للمحافظة. حيث تتركز 91 معلماً سياحياً داخل هذا الشكل البيضاوي، ما يمثل 52.3% من إجمالي المعلمات، بينما تم رصد 83 معلماً خارج الشكل بنسبة 47.7%， وهو ما يعكس نمطاً متعركاً يتنقق مع الشكل العام للمحافظة. كما غطى الشكل البيضاوي 11 مركزاً إدارياً، أي ما يعادل 78.6% من إجمالي مراكز محافظة العلا، مما يعكس انتشاراً واسعاً ومتدرجاً للمعلم في المحافظة. وبالنسبة لـ المعالم التاريخية، فإن توزيعها يتماشى بوضوح مع الاتجاه البيضاوي العام، حيث وُجد 22 معلماً تاريخياً داخل الشكل البيضاوي، ما يمثل 68.5% من إجمالي المعالم التاريخية، وهي متركزة في (5)



مراكز رئيسية: الحجر، الشلال، العذيب، البريكة، ومغيرة، ما يعادل 35.7% من المراكز الإدارية. أما المعلم الثقافي والتربوية، فقد أظهرت اتجاهًا بيضاوياً يمتد من الشرق إلى الغرب، وهو ما ينطبق مع الشكل العام لمركز العذيب الذي يضم غالبية هذه المعلم. وقد احتوى الشكل البيضاوي على 8 معلم من أصل 11، بنسبة 72.7% من إجمالي هذا النوع من المعلم. وبالنسبة للمعلم الجيومورفولوجية، فقد تبنت دورها نفس الاتجاه الجنوبي الغربي – الشمالي الشرقي، حيث تمركز 71 معلمًا داخل الشكل البيضاوي (أي 54.2% من إجمالي المعلم الجيومورفولوجية)، بينما وجد 60 معلمًا خارج الشكل بنسبة 48.8%， مما يشير إلى نمط توزيع شبه متعرّك ولكنه أكثر انتشاراً جغرافياً.

وبناءً عليه، تعكس هذه النتائج أن غالبية المعلم السياحية في محافظة العلا، خاصة التاريجية والثقافية، تتبع اتجاهًا متماثلاً مع البنية الإقليمية للمحافظة، مع تمركز واضح حول المراكز الحيوية والبني التحتية، وهو ما يُعد دليلاً قوياً على عوامل تخطيطية وجغرافية تؤثر في تشكيل هذا النمط المكاني.

يتضح من نتائج تحليل أبعاد القطع الناقص المعياري كما يوضحه الجدول (6) أن المعلم الثقافية والتربوية تمتلك أقصر محور طولي بلغ 18.57 كم، ما يدل على قوة جنوب مركزية مرتفعة وتركيز مكاني شديد في منطقة محددة، يليه مباشرة المعلم التاريجية بمحور أقصر قدره 24.78 كم، مما يشير إلى درجة تمركز متعدلة. وفي المقابل، سجلت المعلم الجيومورفولوجية أطول محور للقطع الناقص بلغ 94.57 كم، مع أعلى زاوية انحراف بلغت 141.46°، ما يعكس اتجاهًا مكانياً واضحاً وموزعاً طولياً عبر امتداد جغرافي كبير في المحافظة. بينما كانت زاوية انحراف المعلم الثقافية والتربوية هي الأقل، حيث بلغت 93.71°، وتشير إلى ميل التوزيع نحو الشرق، مما يعزز ملاحظات التمركز حول مركز العذيب. أما من حيث مساحة القطع الناقص لكل نمط سياحي: حيث جاءت المعلم الثقافية والتربوية في المركز الأول من حيث التمركز، حيث بلغت مساحة الشكل البيضاوي الذي يغطيها 473.39 كم² فقط، ما يعكس أضيق نطاق توزيع. تلتها المعلم التاريجية بمساحة بلغت 5637.08 كم²، مما يعكس انتشاراً أوسع نسبياً. بينما تمتلك المعلم الجيومورفولوجية أوسع انتشار مكاني، بمساحة 14573.1 كم²، وهو ما يفسر طبيعة هذه المعلم المرتبطة بتكوينات جغرافية متعددة منتشرة عبر أنحاء محافظة العلا. ومن ثم توضح هذه المؤشرات أن النمط الثقافي والتربوي هو الأكثر تمركاً، في حين أن المعلم الجيومورفولوجية هي الأكثر تشتتاً وانتشاراً، مما يوفر أساساً لتخطيط موارد السياحة وتوجيه البنية التحتية بشكل أكثر دقة حسب نمط كل مورد سياحي.



شكل (9) القطع الناقص المعياري لثلاثة أنواع من المعالم السياحية في محافظة العلا



جدول (6) معلمات القطع الناقص للانحراف المعياري لأنماط المعالم السياحية المختلفة في محافظة العلا

النوع	طول المحور X (كم)	طول المحور Y (كم)	زاوية الانحراف	المساحة (كم²)
المعالم التاريخية	24,78	72,43	°136.01	5637.08
المعالم الثقافية والترفيهية	18.57	8.11	°93.71	473.39
المعالم الجيومورفولوجية	49.05	94.57	°141.46	14573.1
معالم الجذب السياحي بمحافظة العلا	46,37	90,01	°143.19	13110.9

خلاصة النتائج (الاستنتاجات):

أسفر التحليل المكانى والزمانى لنمط تدفق السياحة وتوزيع معالم الجذب فى محافظة العلا خلال الفترة من 2021 إلى 2023 من خلال الاعتماد على نماذج جيوإحصائية متقدمة وتقديرات التحليل المكانى عن مجموعة من الاستنتاجات المهمة التى تسهم فى بناء تصور استراتيجى لتنمية السياحة المستدامة فى المنطقة، ويمكن تلخيص أبرزها فيما يلى:

- اتضح أن النشاط السياحى فى محافظة العلا يتسم بدرجة عالية من الموسمية، تتجلى بوضوح فى تركز التدفقات السياحية خلال فصل الشتاء، الذى استحوذ بمفرده على نحو 41.9% من إجمالي معدل اعداد الزوار خلال فترة الدراسة، مقابل تراجع ملحوظ فى الصيف (11.9%) نتيجة الظروف المناخية الفاسية. يعود هذا التباين إلى الخصائص المناخية الصحراوية للعلا التي تتسم بدرجات حرارة مرتفعة صيفاً (تصل إلى 40 درجة مئوية) ومعتدلة شتاءً (تصل إلى 9 درجات مئوية)، بالإضافة إلى تقييم الفعاليات الموسمية، لا سيما "شتاء طنطورة".
- أظهرت نتائج استخدام تقنية كريجينج الاعتيادي (Ordinary Kriging) قدرة عالية على التنبؤ المكانى بمعدلات أعداد السياح فى مختلف الفصول، حيث جاءت جميع قيم متوسط النسبة المئوية لمربع جذر الخطأ RMSE ضمن الحدود المقبولة إحصائياً (أقل من 18%), مما يعكس موثوقية النموذج. كما دعمت هذه النتائج معلمات ارتباط بيرسون المرتفعة (تجاوزت 0.96)، ومعاملات التحديد (R^2) التي تراوحت بين 0.932 و0.956، ما يشير إلى تفسير دقيق لمدى التباين فى القيم المرصودة من خلال القيم المقدرة. وتأكد نتائج الميل والانحدار الخطى على وجود علاقة خطية قوية بين المتغيرات، مع وجود انحرافات طفيفة لا تؤثر على فاعلية النموذج.
- أثبتت الدراسة أن معالم الجذب السياحى فى محافظة العلا لا تتوزع بشكل عشوائى، بل تتخذ نمطاً متكتلاً، كما عكست ذلك نتائج معامل صلة الجوار Z بـ 0.82 ودرجة معيارية 4.60-4.60 بدلالة إحصائية قوية. وقد تركزت أغلب المعالم فى حدود منطقة التنمية السياحية، لاسيما فى مدينة العلا القديمة، ومركزى الحجر والعذيب. وتحتفل شدة هذا التكتل حسب نوع المعلم: حيث أظهرت المعالم الجيومورفولوجية تكتلاً حقيقياً بدلالة معنوية، فى حين كان التكتل فى المعالم التاريخية ضعيف الدالة، أما المعالم الثقافية والترفيهية فكانت ذات نمط متبع نسبياً.
- أبرزت نتائج تحليل كثافة النواة والتوزيع الاتجاهي أن التكوين الجغرافي الطبيعي للعلا - المتمثل فى الجبال والتكتونيات الصخرية (جبل الفيل، جبل أثقب، ووادي شرعن) تؤدى دوراً جوهرياً في توجيه مواقع المعالم السياحية. كما أسهمت مشروعات التطوير السياحى فى تركيز الاستثمارات فى مناطق محددة، انعكس ذلك فى تركز المنشآت السياحية الفاخرة (منتجعى هابيتاس وبانيا تري) فى منطقة العذيب، بما يضمن تحسين تجربة الزائر فى بيئه متكاملة.
- على الرغم من تعدد معالم الجذب السياحى فى محافظة العلا، فإن التوزيع المكانى لها لا يزال غير متوازن، حيث تغطي المناطق ذات الكثافة السياحية المنخفضة نحو 80% من مساحة المحافظة، دون استثمار فعلى لتلك المساحات. ويرتبط ذلك بغياب البنية التحتية المناسبة، وقلة التكامل بين المعالم، خصوصاً فى المناطق الطرفية (مغيراء وبئر الأراك). وقد أدى هذا التباين إلى عدم استفادة كافة مراكز المحافظة من العوائد السياحية، مما يستدعي تدخلات تخطيطية لإعادة توزيع النشاط السياحى بشكل أكثر شمولاً.



- كشفت النتائج عن ضعف الترابط بين المعلم الثقافي والترفيهية (التي تمثل 6.32% فقط من إجمالي المعلم) والمعلم الجيومورفولوجي المنتشرة على نطاق واسع. ويعزى ذلك إلى تخطيط غير متكامل أو غياب البرامج التي تستثمر في تقديم تجربة سياحية متعددة الأبعاد، تجمع بين الثقافة، الطبيعة، والتاريخ في آن واحد، على الرغم من الإمكانيات المتاحة.

وبناءً عليه، تؤكد نتائج هذه الدراسة على أهمية تكامل الجوانب المناخية، الجغرافية، والهيكلية في تحليل الأنماط السياحية في العلا، كما تسلط الضوء على الحاجة إلى تطوير استراتيجيات تعتمد على التحليل المكاني الدقيق لضمان الاستدامة، وتحقيق توزيع عادل للموارد والفرص السياحية في مختلف أنحاء المحافظة.

التوصيات:

- نظرًا لانخفاض أعداد السياح في فصل الصيف بسبب الحرارة المرتفعة (حيث لا تتجاوز نسبتهم 11.9%)، يُوصى بإنشاء مرافق مغلقة ومكيفة مثل معارض تراثية تقاعية، صالات متاحف رقمية، وعروض ضوئية ليلية، مع التوسيع في البنية التحتية الخضراء، بما يتماشى مع الطبيعة التراثية والثقافية للعلا.

- بناءً على النجاح الكبير لمهرجان "شتاء طنطورة" كمحفز رئيسي للسياحة الشتوية، يُوصى بتنظيم فعاليات مماثلة في فصلي الربيع والخريف لجذب الزوار على مدار العام، مثل "ربيع العلا للتراث" أو "خريف الفنون والمغامرة"، مع توظيف عناصر الهوية المحلية.

- ظهر النتائج أن 86.1% من مساحة المحافظة تستقطب أقل من 1400 سائح، خاصة الأطراف الغربية والجنوبية. لذا يُوصى بتطوير مراكز استراحة بيئية، مسارات سفاري، ومخيمات فندقية متنقلة في هذه المناطق، خاصة ذات التكوينات الجيومورفولوجية الفريدة مثل "جبل الشحر"، "بئر جيدة"، و"وادي دقن".

- استنادًا إلى تركز مراكز الجذب السياحى في وسط العلا، يُوصى بربط المعلم الأثري مثل "مدائن صالح" و"الخربة" بالمعالم الجيومورفولوجية المجاورة مثل "جبل أثلب" و"صخرة الفيل" من خلال مسارات سياحية موحدة، تشمل لوحات تفسيرية ومحطات خدمات، لتقديم تجربة متكاملة للزائر.

- أظهر التحليل تباعد المعلم الثقافي والترفيهية عن المراكز الرئيسية، مما يستدعي إنشاء وحدات ترفيهية جديدة كالحدائق التعليمية أو ساحات عروض حرفية، خاصة في المناطق غير المخدومة كما هو الحال في مركز مغيراء أو مركز بئر الأراك، بما يتماشى مع الأنماط الحالية للتوزيع.

- بعض المناطق أظهرت معدلات سياحة متوسطة (المناطق المحيطة بمركز العذيب وشلال شرقاً)، لذا يُوصى بتحسين شبكات الطرق، الإضاءة، والاتصالات في تلك المناطق، بالإضافة إلى دعم الإيواء الريفي (مثال: نسيم العذيب) كمحفز لزيادة الإقبال.

- يُوصى بتعزيز نظام رصد دوري باستخدام أدوات كالتحليل الجيوإحصائي والمكاني في بيئة نظم المعلومات الجغرافية كطريقة "كريجينج" و"تحليل الكثافة النقاطية"، لتحديث البيانات الخاصة بأعداد السياح وتوجيه عمليات اتخاذ القرار، خاصة في ظل التباين الموسمى والمكاني الواضح في التدفق السياحى.

- لزيادة الاستفادة من الموارد البشرية وتحفيز تنمية السياحة المجتمعية، يُوصى بتنفيذ دورات تدريبية في الضيافة، والإرشاد البيئي، والصناعات التراثية، خصوصًا في القرى المحيطة بمراكم الجذب السياحى ومنها: "قاع الحاج" و"مغيراء".

المراجع

1. الزهراني، أ. (2009). التخطيط السياحي للمناطق التراثية: العلا أنموذجًا. مجلة جغرافية الخليج والجزيرة العربية، 35(1)، 72-45.
2. الزهراني، أ. (2023). السياحة في رؤية المملكة 2030: تحديات وتطورات. مجلة السياحة والتنمية، 10(2)، 120-140.
3. السراني، م، وأل زينة، ه. (2022). بناء نموذج خرائطي لتحديد المواقع السياحية في محافظة العلا باستخدام نظم المعلومات الجغرافية. مجلة دراسات الخليج العربي، 18(3)، 205-233.
4. الأحمري، م، وورغي، م. (2020). تحليل التوزيع المكاني للمواقع الأثرية في منطقة الباحة. مجلة أبحاث السياحة والآثار، 12(4)، 99-125.



5. زويد، ع. ع. (2022). التحليل المكانى للموقع السياحية فى قضاء المناذرة باستخدام نظم المعلومات الجغرافية. جامعة الفرات الأوسط التقنية. منشور على ResearchGate. <https://www.researchgate.net/publication/366582434>
6. القحطاني، ح. ر. (2023). التحليل المكانى للوجهات السياحية فى مدينة الرياض باستخدام نظم المعلومات الجغرافية. مجلة مركز البحوث الجغرافية والكارتوغرافية، 37(1)، 171-201. <https://mkgc.journals.ekb.eg/>
7. وزارة السياحة. (2022). التقرير الإحصائي السنوى للسياحة فى المملكة العربية السعودية. الرياض: وزارة السياحة السعودية.
8. الهيئة العامة للسياحة والتراث الوطنى. (2017). تقرير عن جهود الهيئة بمحافظة العلا. النسخة الرابعة النهائية.
9. الهيئة العليا للسياحة. (دون تاريخ). خطة تنمية السياحة المستدامة: المخرج 2.06، خطة العمل الخاصة بالتراث الثقافي (الورقة 04.03.06). المملكة العربية السعودية: مسودة الخطة الإدارية للعلا ومحافظة الوجه.
10. الهيئة الملكية لمحافظة العلا. (2022). الدليل الرسمي لزوار العلا: تجربة العلا. تم الاسترجاع من <https://experiencealula.com>
11. Altassan, A. (2023). Sustainability of heritage villages through eco-tourism investment (Case study: Al-Khabra Village, Saudi Arabia). *Sustainability*, 15, 7172. <https://doi.org/10.3390/su15187172>
12. Bishop, I. D., & Gimblett, H. R. (2000). Modelling tourist movement: A framework to enhance understanding of tourist behaviour. *Tourism Geographies*, 2(1), 69–87. <https://doi.org/10.1080/146166800363466>.
13. Cameron, A. C., & Windmeijer, F. A. G. (1997). An R-squared measure of goodness of fit for some common nonlinear regression models. *Journal of Econometrics*, 77(2), 329–342. [https://doi.org/10.1016/S0304-4076\(96\)01818-0](https://doi.org/10.1016/S0304-4076(96)01818-0)
14. Cressie, N. (1990). The origins of Kriging. *Mathematical Geology*, 22(3), 239–252. <https://doi.org/10.1007/BF00889887>.
15. Chai, T., & Draxler, R. R. (2014). Root mean square error (RMSE) or mean absolute error (MAE)? – Arguments against avoiding RMSE in the literature. *Geoscientific Model Development*, 7(3), 1247–1250.
16. Fang, W., Deng, H., & Wang, Y. (2023). A Kriging-based model for interpolating tourist flow using mobile signaling data. *Journal of Tourism Studies*, 34(2), 120–135.
17. Fadhil, S. M., & Ikhwan, A. (2024). Implementation of the algorithm in a web-based geographic information system for mapping tourist attractions in the Toba area. *Jurnal Inovtek Polbeng Seri Informatika*, 9(2), 988–1000. <https://doi.org/10.35314/jawetw85>.
18. Field, A. (2013). *Discovering statistics using IBM SPSS statistics* (4th ed.). SAGE Publications.
19. Frost, J. (2019). *Regression analysis: An intuitive guide for using and interpreting linear models*. Statistics By Jim Publishing.
20. Guo, Y., & Liu, M. (2021). Classification and spatial distribution characteristics of tourist attractions in Shanxi Province based on POI data. *Scientia Geographica Sinica*, 41, 1246–1255.



21. Hengl, T., Heuvelink, G. B., & Stein, A. (2004). A generic framework for spatial prediction of soil variables based on regression-kriging. *Geoderma*, 120(1-2), 75-93. <https://doi.org/10.1016/j.geoderma.2003.08.018>.
22. Hinkle, D. E., Wiersma, W., & Jurs, S. G. (2003). Applied statistics for the behavioral sciences (5th ed.). Houghton Mifflin.
23. Isaaks, E. H., & Srivastava, R. M. (1989). An introduction to applied geostatistics. Oxford University Press.
24. James, G., Witten, D., Hastie, T., & Tibshirani, R. (2013). An introduction to statistical learning: With applications in R. Springer. <https://doi.org/10.1007/978-1-4614-7138-7>
25. Journel, A. G. (1983). Nonparametric estimation of spatial distributions. *Mathematical Geology*, 15(3), 445-468. <https://doi.org/10.1007/BF01031292>.
26. Kalaitzakis, M., Tzannatos, E., & Zacharias, I. (2022). Technological integration for real-time management of visitor flows in urban environments. *Tourism Management*, 88, 104400.
27. Koenig, N., & Bischoff, E. E. (2005). Seasonal price variation in accommodation: A contribution to the discussion on seasonality. *Journal of Travel Research*, 44(2), 163–173. <https://doi.org/10.1177/0047287505278991>.
28. Lee, C. K., Han, S. Y., & Lockyer, T. (2008). Estimating the environmental impacts of tourism development: A combined approach. *Tourism Management*, 29(1), 128–138. <https://doi.org/10.1016/j.tourman.2007.03.006>.
29. Matheron, G. (1963). Principles of geostatistics. *Economic Geology*, 58(8), 1246-1266. <https://doi.org/10.2113/gsecongeo.58.8.1246>.
30. Moore, D. S., McCabe, G. P., & Craig, B. A. (2014). Introduction to the practice of statistics (8th ed.). W. H. Freeman.
31. Myers, D. E. (1982). Matrix formulation of co-kriging. *Mathematical Geology*, 14(3), 249-257. <https://doi.org/10.1007/BF01032291>.
32. Montgomery, D. C., Peck, E. A., & Vining, G. G. (2012). Introduction to linear regression analysis (5th ed.). Wiley.
33. Nistor, C., Nistor, T., & Csapó, J. (2020). GIS-based kernel analysis for mapping international tourism flows. *Journal of Spatial Analysis*, 32(3), 67-82.
34. Peng, H., Zhang, H., & Lu, L. (2016). Spatial distribution and influencing factors of cross-border tourist flows in China. *Tourism Management*, 55, 23–33. <https://doi.org/10.1016/j.tourman.2016.01.005>
35. Sirror, H. (2024). Lessons learned from the past: Tracing sustainable strategies in the architecture of Al-Ula heritage village. *Sustainability*, 16(13), 5463. <https://doi.org/10.3390/su16135463>
36. Stupariu, M. S., Josan, I., Cenan, C. G., & Rujescu, C. (2023). The geostatistical dimension of tourist flows generated by international arrivals in Romania. *Geographia Technica*, 18(1), 141–151. https://doi.org/10.21163/GT_2023.181.13.
37. UNWTO. (2023). World Tourism Barometer and Statistical Annex, Volume 21. World Tourism Organization. <https://www.unwto.org/statistics>
38. UNESCO. (2021). Cultural Tourism and Heritage Report. United Nations Educational, Scientific and Cultural Organization. <https://unesdoc.unesco.org>



39. Wang, R., Wang, D., & Chun, S. (2016). Spatial structure analysis of tourist attraction in Lanzhou based on GIS. Proceedings of EMCS-16, 1185–1188. <https://doi.org/10.2991/EMCS-16.2016.292>.
40. Webster, R., & Oliver, M. A. (2007). Geostatistics for environmental scientists (2nd ed.). Wiley.
41. Yu, W. H., & Ai, T. H. (2015). Network kernel density estimation for the analysis of facility POI hotspots. *Acta Geodaetica et Cartographica Sinica*, 44(1), 82–90.